



# БИООРГАНИЧЕСКАЯ ХИМИЯ

том 7 \* № 8 \* 1981

УДК 547.96.07

## СИНТЕЗ И НЕКОТОРЫЕ БИОЛОГИЧЕСКИЕ СВОЙСТВА ПЕНТИДА $\delta$ -СНА И ЕГО АНАЛОГОВ

*Саргсян А. С., Сумская Л. В., Александрова Н. Ю.,  
Безруков М. В., Михалева И. И., Иванов В. Т.*

*Институт биоорганической химии им. М. М. Шемякина Академии наук СССР, Москва*

*Балабан П. М.*

*ННИ по биологическим испытаниям химических соединений, ММП, Купавна*

С целью структурно-функционального изучения пентида  $\delta$ -сна (Delta-Sleep Inducing Peptide) синтезированы DSIP и 11 его аналогов: а) аналоги, содержащие остаток Тгу в одном из положений 6–9 молекулы DSIP; б) аналоги с остатком D-Ala в одном из положений 2–4, аналог с остатком Ava вместо дипептидного звена Gly-Gly (положения 3–4) и ундекапептидный аналог, соответствующий последовательности DSIP, удлиненной с N-конца на дипептидный фрагмент Gly-Pro; в) производные DSIP с амидированными остатками двухосновных кислот, т. е. содержащие Asn вместо Asp или Glu-NH<sub>2</sub> вместо Glu. Синтез осуществлен коваленцией двух блоков, каждый из которых получен ступенчатым парацвиванием цепи с C-конца. Показано, что DSIP и некоторые из его аналогов оказывают специфическое и избирательное действие на клеточные электрофизиологические модели – нейроны виноградной улитки, вызывая уменьшение частоты спонтанной импульсной активности в среднем на 30–40% и гиперполяризационный сдвиг потенциала покоя на 1–4 мВ. Обсуждаются результаты тестирования сомногенного действия DSIP на животных (крысы, кролики, кошки).

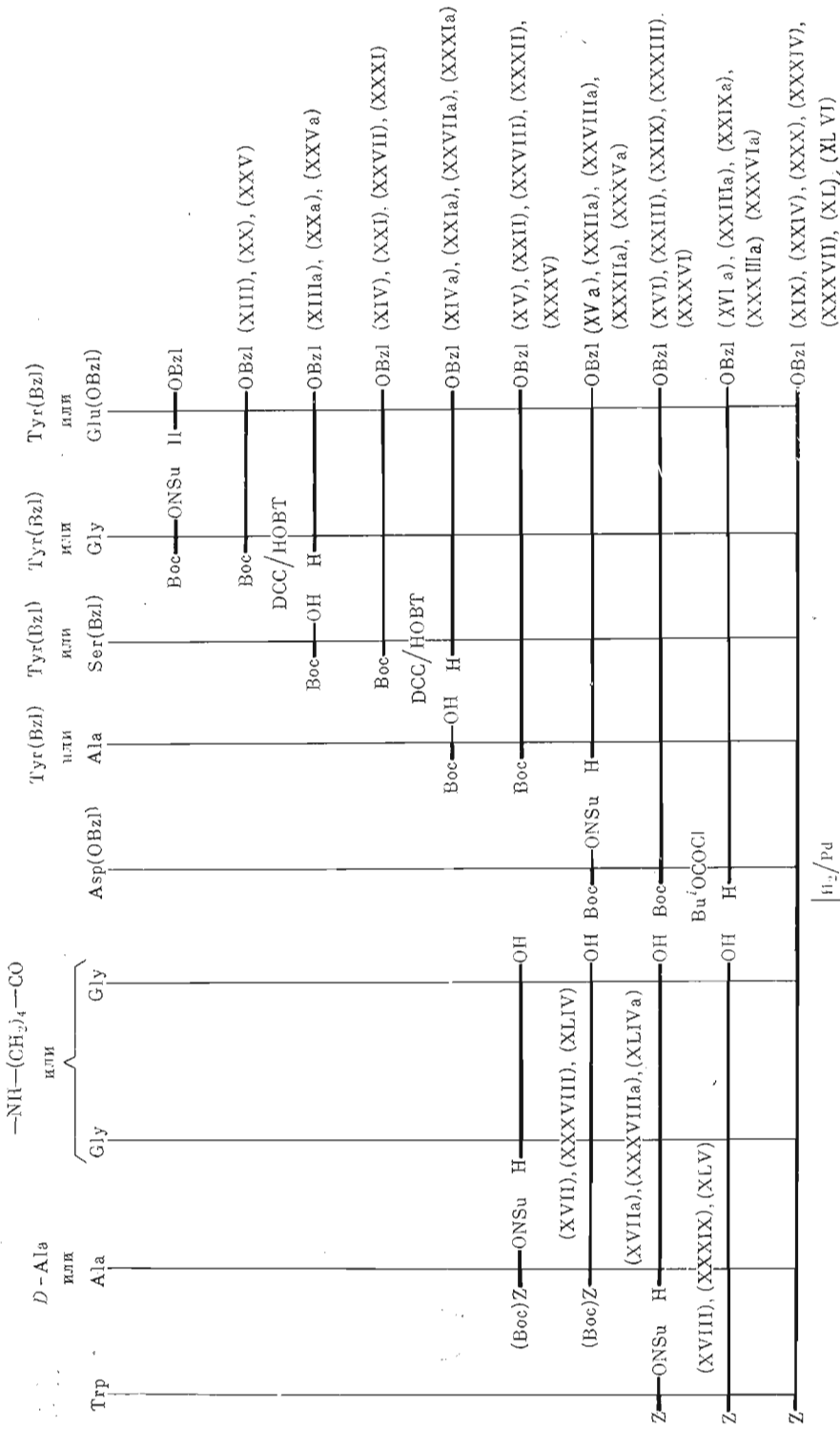
В ряде работ описаны попытки выделения и идентификации гуморальных факторов мозга, вовлеченных в процесс возникновения и поддержания сна [1–6]. Однако лишь для одного из них к настоящему времени установлена первичная структура: в 1977 г. Монье и сотр. [5] показали, что выделенный пептид, по их данным индуцирующий у кроликов поведенческие и электроэнцефалографические изменения, характерные для медленноволнового сна ( $\delta$ -сна), представляет собой нонапептид (I).

Структура этого пептида была подтверждена синтезом; полученный продукт обладал полной активностью природного фактора [5]. Было также показано, что фрагменты  $\delta$ -пептида биологически неактивны.

В целях изучения взаимосвязи между структурой, пространственным строением и биологической функцией этого нового нейропептида нами

В работе приняты стандартные сокращения, рекомендованные комиссией по биохимической номенклатуре IUPAC-IUB; кроме того, использованы следующие сокращения: Ava – остаток  $\delta$ -аминовалериановой кислоты  $-\text{NH}-(\text{CH}_2)_4-\text{CO}-$ , Bzl(Cl<sub>2</sub>) – 2,6-дихлорбензил, DCC – N,N-дициклогексилкарбодиимид, НОВТ – 1-оксибензотриазол, DMF – диметилформамид.

Cinema 1



1, (II), (III), (IV), (V), (VI), (VII), (VIII).

был предпринят синтез природного фактора (I) и ряда его аналогов (II) – (XII) \*:

1 Trp	2 Ala	3 Gly	4 Gly	5 Asp	6 Ala	7 Ser	8 Gly	9 Glu	(I)
								—Tyr	(II)
								—Tyr —	(III)
								—Tyr —	(IV)
								—Tyr —	(V)
								—Ava —	(VI)
Gly-Pro									(VII)
	—D-Ala —								(VIII)
		—D-Ala —							(IX)
			—D-Ala —						(X)
								—Glu-NH <sub>2</sub>	(XI)
								—Asn —	(XII)

Тирозинсодержащие аналоги (II) – (V) предполагалось использовать для анализа пространственной структуры спектральными методами [7], а также для получения радиоактивномеченных <sup>125</sup>I-производных иодированием тирозина; последние необходимы для изучения механизма действия пептида δ-сна и его локализации в мозге радиоиммунохимическими методами.

Поскольку DSIP является хорошим субстратом для экзо- и эндопептидаз мозга [9], представляло интерес получение аналогов, более устойчивых к протеолизу, чем исходный пептид. С этой целью синтезированы:

\* Предварительные сообщения см. [7, 8].

#### к схеме 1

- (XIII) Boc-Gly-Glu(OBzl)-OBzl
- (XIV) Boc-Ser(Bzl)-Gly-Glu(OBzl)-OBzl
- (XV) Boc-Ala-Ser(Bzl)-Gly-Glu(OBzl)-OBzl
- (XVI) Boc-Asp(OBzl)-Ala-Ser(Bzl)-Gly-Glu(OBzl)-OBzl
- (XVII) Z-Ala-Gly-Gly-OH
- (XVIII) Z-Trp-Ala-Gly-Gly-OH
- (XIX) Z-Trp-Ala-Gly-Gly-Asp(OBzl)-Ala-Ser(Bzl)-Gly-Glu(OBzl)-OBzl
- (XX) Boc-Gly-Tyr(Bzl)-OBzl
- (XXI) Boc-Ser(Bzl)-Gly-Tyr(Bzl)-OBzl
- (XXII) Boc-Ala-Ser(Bzl)-Gly-Tyr(Bzl)-OBzl
- (XXIII) Boc-Asp(OBzl)-Ala-Ser(Bzl)-Gly-Tyr(Bzl)-OBzl
- (XXIV) Z-Trp-Ala-Gly-Gly-Asp(OBzl)-Ala-Ser(Bzl)-Gly-Tyr(Bzl)-OBzl
- (XXV) Boc-Tyr(Bzl)-Glu(OBzl)-OBzl
- (XXVI) Boc-Tyr(Bzl Cl<sub>2</sub>)-Glu(OBzl)-OBzl
- (XXVII) Boc-Ser(Bzl)-Tyr(Bzl)-Glu(OBzl)-OBzl
- (XXVIII) Boc-Ala-Ser(Bzl)-Tyr(Bzl)-Glu(OBzl)-OBzl
- (XXIX) Boc-Asp(OBzl)-Ala-Ser(Bzl)-Tyr(Bzl)-Glu(OBzl)-OBzl
- (XXX) Z-Trp-Ala-Gly-Gly-Asp(OBzl)-Ala-Ser(Bzl)-Tyr(Bzl)-Glu(OBzl)-OBzl
- (XXXI) Boc-Tyr(Bzl)-Gly-Glu(OBzl)-OBzl
- (XXXII) Boc-Ala-Tyr(Bzl)-Gly-Glu(OBzl)-OBzl
- (XXXIII) Boc-Asp(OBzl)-Ala-Tyr(Bzl)-Gly-Glu(OBzl)-OBzl
- (XXXIV) Z-Trp-Ala-Gly-Gly-Asp(OBzl)-Ala-Tyr(Bzl)-Gly-Glu(OBzl)-OBzl
- (XXXV) Boc-Tyr(Bzl)-Ser(Bzl)-Gly-Glu(OBzl)-OBzl
- (XXXVI) Boc-Asp(OBzl)-Tyr(Bzl)-Ser(Bzl)-Gly-Glu(OBzl)-OBzl
- (XXXVII) Z-Trp-Ala-Gly-Gly-Asp(OBzl)-Tyr(Bzl)-Ser(Bzl)-Gly-Glu(OBzl)-OBzl
- (XXXVIII) Boc-Ala-Ava-OH
- (XXXIX) Z-Trp-Ala-Ava-OH
- (XL) Z-Trp-Ala-Ava-Asp(OBzl)-Ala-Ser(Bzl)-Gly-Glu(OBzl)-OBzl
- (XLIV) Z-D-Ala-Gly-Gly-OH
- (XLV) Z-Trp-D-Ala-Gly-Gly-OH
- (XLVI) Z-Trp-D-Ala-Gly-Gly-Asp(OBzl)-Ala-Ser(Bzl)-Gly-Glu(OBzl)-OBzl

Схема 2

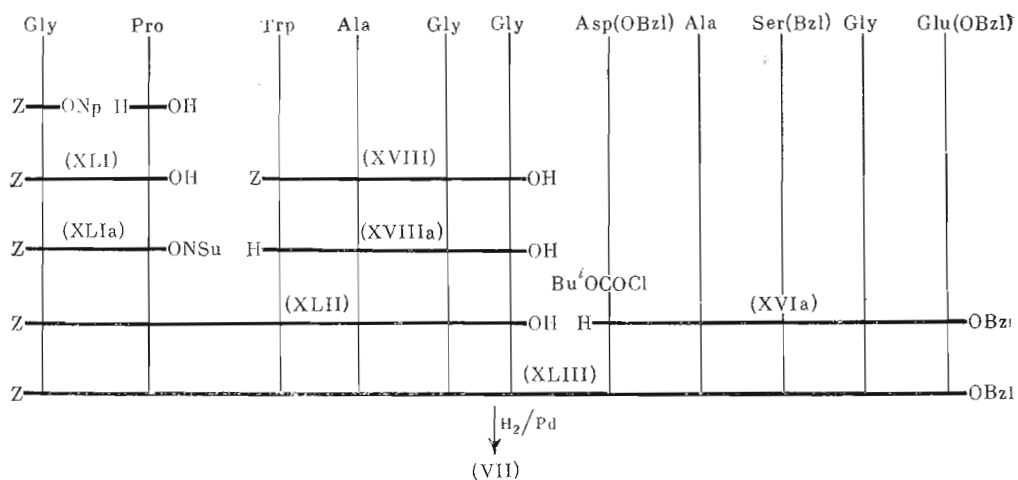
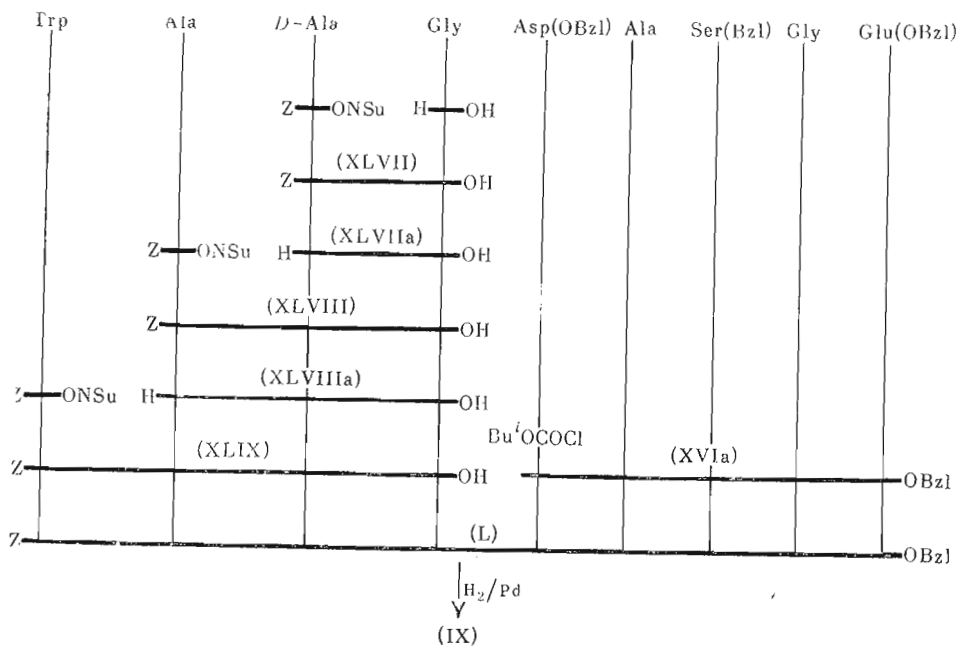


Схема 3

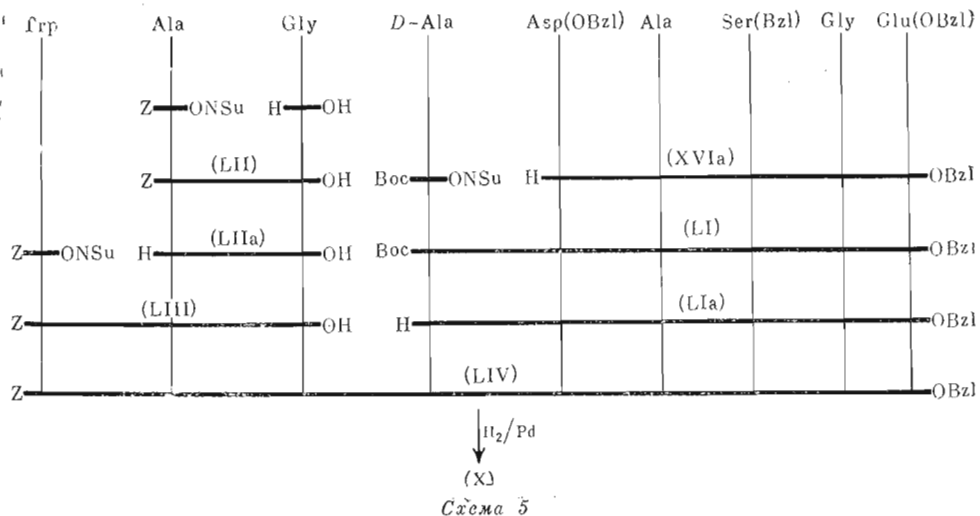


аналог (VI), содержащий остаток  $\delta$ -аминовалериановой кислоты вместо фрагмента Gly<sup>3</sup>-Gly<sup>4</sup>, т. е. отличающийся от нативного пептида заменой амидной связи на участке -Gly-Gly- на звено  $-\text{CH}_2-\text{CH}_2-$ , и аналоги (VIII) – (X), отличающиеся от DSIP присутствием остатков D-Ala в положениях 2, 3 и 4. Кроме того, учитывая имеющиеся указания о том, что введение с N-конца пролиновых остатков может затруднить протеолиз, в частности под действием аминопептидаз [10], мы получили также аналог (VII), удлиненный по сравнению с DSIP на звено Gly-Pro.

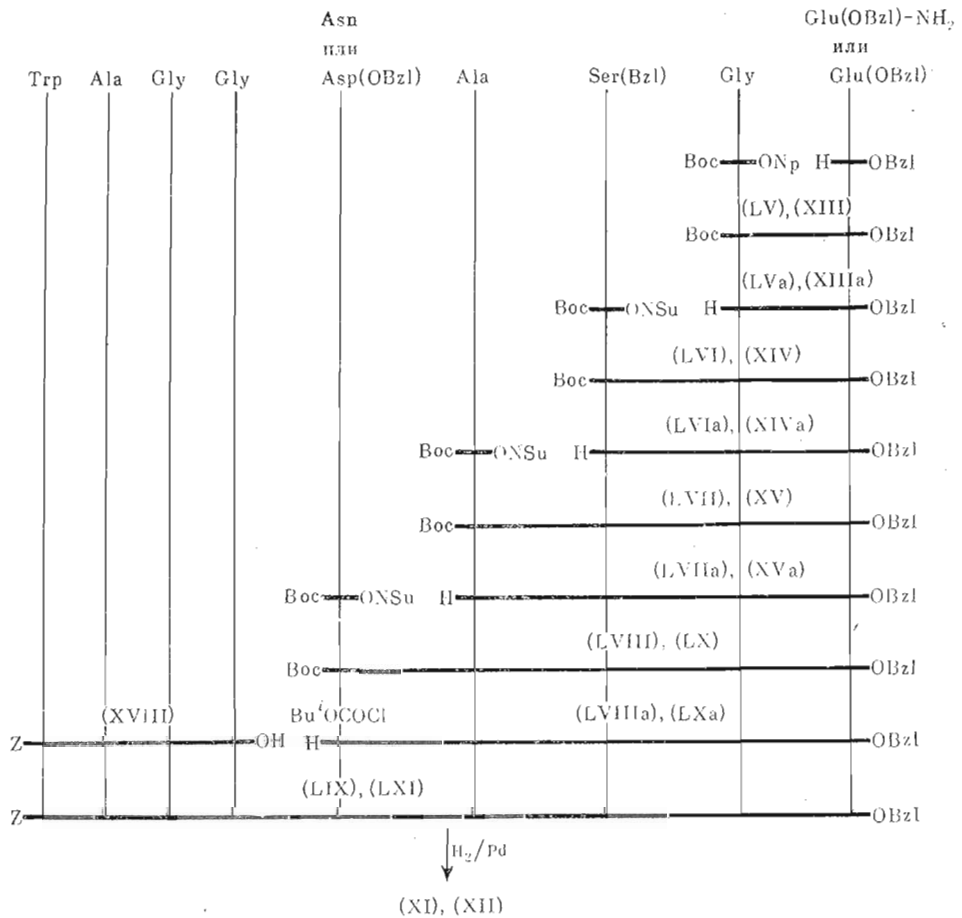
С помощью аналогов (XI) – (XII), содержащих амидированные карбоксильные группы, предполагалось оценить важность ионогенных COOH-групп для проявления пептидом биологической активности.

DSIP и его аналоги синтезированы в растворе классическими методами по схемам 1–5, включающим в себя конденсацию двух защищенных пептидных блоков, выбранных таким образом, чтобы активируемый в ходе

Схема 4



### *Cхема 5*



(LV) Boc-Gly·Glu(OBzl)-NH<sub>2</sub>

(LVI) Boc-Ser(Bzl)-Gly-Glu(OBzl)-NH<sub>2</sub>

(LVII) Boc-Ala-Ser(Bzl)-Gly-Glu(OBzl)-NH<sub>2</sub>

(LVIII) Boc-Asp(OBzl)-Ala-Ser(BzL)-Gly-Glu(OBzl)-NH<sub>2</sub>

(LX) Z-Trp-Ala-Gly-Gly-Asp(OBzl)-Ala-Ser(Bzl)-Gly-Glu(OBzl)-NH<sub>2</sub>  
 (LX) Boc-Asn-Ala-Ser(Bzl)-Gly-Glu(OBzl)-NH<sub>2</sub>

(LX) Boc-Ash-Ala-Ser(Bzl)-Gly-Glu(OBzl)-NH<sub>2</sub>  
 (LXI) Z-Trn-Ala-Gly-Gly-Asn-Ala-Ser(Bzl)-Gly

(LXII) Z-Trp-Ala-Gly-Gly-Asn-Ala-Ser(Bzl)-Gly-Glu(OBzl)-NH<sub>2</sub>

конденсации блок имел на С-конце оптически неактивный остаток глицина.

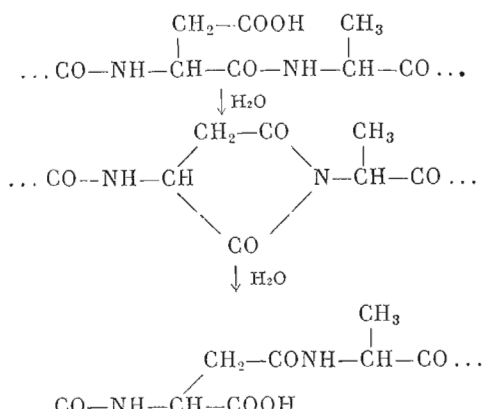
Для блокирования боковых цепей остатков Asp, Ser, Glu и Glu-NH<sub>2</sub> были выбраны бензиловые эфиры, а для N<sup>α</sup>-функции — бензилоксикарбонильная (Z) или трет-бутилоксикарбонильная (Boc) группировки. Для защиты оксигруппы тирозина первоначально планировали использовать 2,6-дихлорбензильную группу [11]. Однако ее удаление катализитическим гидрированием уже на стадии дипептида (XXVI) протекало неудовлетворительно, поэтому выбор был остановлен на бензильной группе. Синтез каждого из фрагментов осуществляли последовательным нарощиванием цепи с С-конца методом N-оксисукциниimidных и n-нитрофениловых эфиров или с помощью DCC в присутствии НОВТ.

Boc-защитные группы удалялись с помощью 50–75% CF<sub>3</sub>COOH в CH<sub>2</sub>Cl<sub>2</sub>, а в случае тирозинсодержащих пептидов — трехкратным избытком эфирата трифтогида бора в уксусной кислоте при 4° С. Применение этого реагента позволило свести к минимуму побочную реакцию O→C-миграции бензильной группы фенольного гидроксила тирозина, имеющую место при использовании ацидолитических реагентов — 25% CF<sub>3</sub>COOH в хлористом метилене или уксусной кислоте [12].

Защищенные пептиды очищали кристаллизацией, их индивидуальность и чистоту контролировали тонкослойной хроматографией и аминокислотным анализом (гидролиз в н. HCl).

В ходе поиска оптимального метода конденсации двух блоков был опробован ряд активирующих и конденсирующих агентов.

При конденсации двух блоков методами N-оксисукциниimidных или пентафторфениловых эфиров выходы гомогенного по ТСХ защищенного ионапептида (XIX) (схема 1) составляли лишь 10 и 50% соответственно, а в случае применения DCC/НОВТ продукт реакции оказался хроматографически неоднородным. Гидрирование полученного последним способом защищенного ионапептида (XIX) и последующее фракционирование на DEAE-сепадексе А-25 привели к получению трех фракций (*a*—*c*) (рис. 1). По данным аминокислотного анализа кислотного и ферментативного (лейцинаминопептидаза) гидролизатов, фракция *a* представляла собой целевой ионапептид, фракция *b* образовалась в результате неполного гидрирования, а фракция *b* скорее всего представляла собой продукт  $\alpha\rightarrow\beta$ -транспептидации, протекающей с промежуточным образованием циклического имиды [13]:



Защищенный ионапептид (XIX) был получен с высоким выходом (73%) модифицированным методом смешанных ангидридов (так называемый REMA-синтез [14], с изобутилхлорформиатом). Этим же способом получали защищенные пептиды и при синтезе аналогов DSIP. Для контроля чистоты защищенных пептидов, являющихся продуктами блочной конденсации [(XIX), (XXIV), (XXX), (XXXIV), (XXXVII), (XL)],

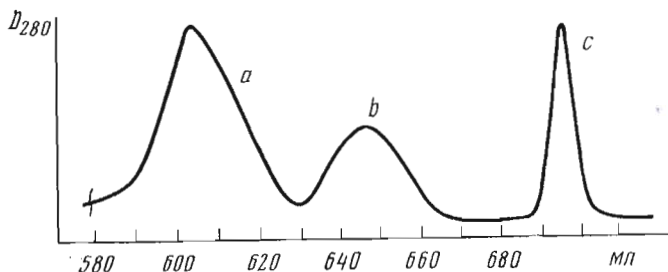


Рис. 1. Хроматографическое разделение DSIP, полученного DCC / НОВТ-методом на DEAE-сепадексе A-25 (колонка 1×100 см, 0,3 М  $\text{CH}_3\text{COONH}_4$ , рН 6,7, нагрузка 20 мг)

(XLIII) — схема 2, (XLVI) — схема 1, (L) — схема 3, (LIV) — схема 4, (LIX), (LXI) — схема 5], помимо ТСХ и аминокислотного анализа, использовали высокоэффективную хроматографию в режиме эксклюзии на колонке с силасорбом 600 в DMF [15]. В качестве примера на рис. 2 показан профиль элюции защищенного ионапептида (XIX).

Удаление защитных групп проводилось в одну стадию каталитическим гидрированием над Pd-чернью в DMF, содержащем 1% уксусной кислоты и до 40% воды, которая добавлялась для растворения выпадающего в ходе реакции пептида. Гидрирование защищенного DSIP (XIX) протекало за 4 ч; в случае остальных ионапептидов гидрирование длилось 10–20 ч. Полученные продукты подвергались очистке ионообменной хроматографией на DEAE-сепадексе A-25 в аммоний-ацетатном буфере в изократическом или градиентном режиме в интервале мольности буфера от 0,1 до 0,3 М, рН 6,7–7,7. Несколько характерных профилей элюций приведены на рис. 3.

Чистота конечных продуктов (I)–(XII) контролировалась ТСХ, аминокислотным анализом (гидролиз в 6 н. HCl и метансульфонатом), высоковольтным электрофорезом при pH 1,9 и 6,5, одним циклом деградации по Эдману (для характеристики N-концевого аминокислотного остатка) и высокоэффективной ионообменной хроматографией на смоле DC-6A в условиях, отвечающих стандартному аминокислотному анализу (рис. 4). Ферментативный гидролиз DSIP (I) и его аналогов (II)–(V), (XI), (XII) лейцинаминоцептидазой подтвердил их оптическую чистоту и отсутствие изомерных продуктов с  $\beta$ -связью аспарагиновой кислоты (табл. 1). Проводимые в настоящее время исследования спектров ЯМР высокого разрешения (300 МГц) [7] также свидетельствуют о гомогенности полученных продуктов.

Биологическое *in vivo* тестирование сомнительных свойств представляло достаточно сложную проблему. Имеющиеся в литературе данные, касающиеся гипногенного действия DSIP, крайне противоречивы. Так, в работах Монье и сотр. [4, 6, 16] и Полка и сотр. [17] сообщалось, что внутривенное введение DSIP в дозе 30 нмоль/кг кроликам [4, 6] и кошкам [17] и 30, 40 и 80 нмоль крысам [16] вызывает достоверное увеличение общего количества сна, главным образом за счет его медленноволновой фазы ( $\delta$ -сна) у кроликов и крыс и REM-сна (Rapid eye movement) у кошек. В противоположность действию малых доз внутривенное введение больших доз DSIP (300 нмоль/кг), по данным Полка и сотр. [17], не вызывало никакого эффекта. Почти одновременно были опубликованы работы Кармановой и сотр. [18, 19] и Медведева и сотр. [20], описывающие сильное наркозоподобное действие больших доз DSIP (до 20 нмоль) при центральном введении кошкам, белым крысам и собакам.

Однако наряду с этими сообщениями в печати появились работы, в которых попытки воспроизвести результаты Монье не привели к успеху. Так, в опытах Ковальзона и Цибульского [21] введение в дозе 6 нмоль

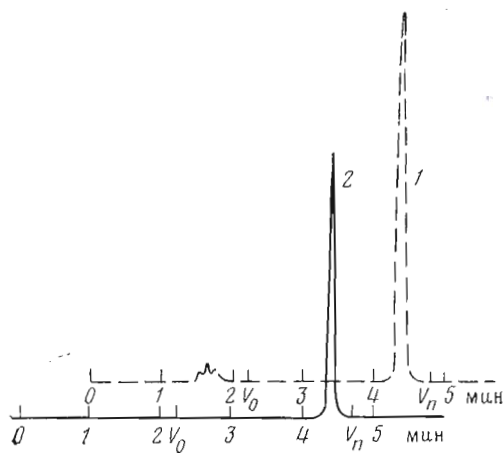


Рис. 2. Эксклюзационная хроматография защищенного DSIP (XIX) на силасорбе 600 в DMF [15] (колонка 0,8×25 см, эффективность 27 000 теор. тарелок, скорость 2 мл/мин, ввод 10 мкл, с 0,1). 1 -- УФ-детектор, 280 нм; 2 -- рефрактометрический детектор

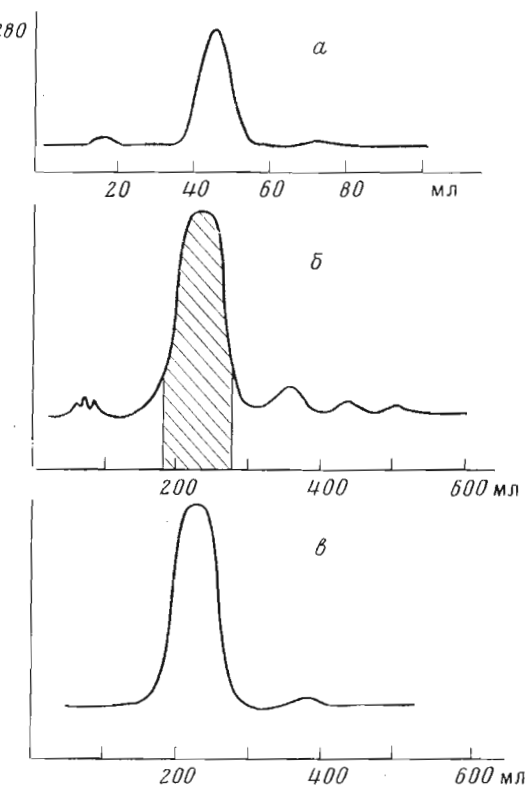


Рис. 3. Профиль элюции при хроматографии на DEAE-сепадексе А-25 в 0,3 М  $\text{CH}_3\text{COONH}_4$ : а — DSIP (I), полученного REMA-методом (колонка 1×10 см, нагрузка 6 мг); б — [ $\text{Av}_{\alpha}^{3,4}$ ]DSIP (VI) (колонка 2,5×10 см, нагрузка 0,2 г); в — рехроматография основной фракции рис. 3б (соответствует заштрихованной части пика)

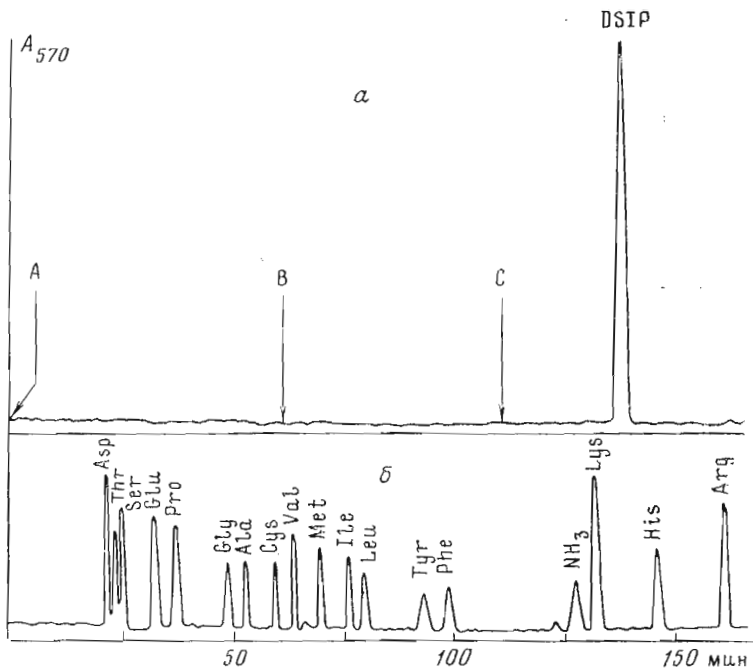


Рис. 4. Высокоэффективная ионообменная хроматография на колонке (0,8×30 см) со смолой DC-6A при элюции 0,2 н. цитратом натрия, pH 3,2 (A), с добавлением 0,35 н. NaCl (B, pH 4,25) и 1,35 н. NaCl (C, pH 5,8) DSIP (a) и стандартной смеси аминокислот (б)

внутрижелудочково и 30 нмоль внутривенно кроликам и крысам не давало достоверного увеличения сна. Сходные результаты были получены Тоблер и Борбели [22], исследовавших действие DSIP на двигательную активность крыс (доза 40–160 нмоль при внутрибрюшном введении) и на сон (доза 7–24 нмоль при внутрижелудочковом введении). При этом ни уменьшения двигательной активности, ни увеличения сна не было обнаружено. Более того, авторы наблюдали даже некоторый активирующий эффект DSIP на крысах.

Таким образом, вопрос о сомногенном действии DSIP пока остается открытым и выяснение его истинной физиологической роли требует дальнейших исследований.

В поисках более простого *in vitro* теста для первичного скрининга биологического действия синтезированных нейропептидов мы, обратились к электрофизиологическим исследованиям на гигантских нервных клетках моллюсков. Использование идентифицированных нейронов беспозвоночных в качестве тест-системы для изучения механизмов действия нейропептидов получает в последние годы все большее распространение в связи с методическими преимуществами эксперимента, определяемыми большими размерами нейронов [23–26]. При интерпретации данных в этих исследованиях учитывается, что молекулярные механизмы функционирования нервных клеток у беспозвоночных и позвоночных принципиально сходны. Например, у беспозвоночных показано наличие всех медиаторных и рецепторных систем, встречающихся в мозгу позвоночных, включая опиатные рецепторы [27]. В серии работ Такеуши с соавт. [26] исследовано действие 90 различных аминокислот, ди-, три- и тетрапептидов на спонтанную активность двух идентифицированных нейронов африканской улитки и показана тормозная активность некоторых цептидов в концентрации около  $10^{-6}$  М. Гайнером и сотр. [23, 24] исследовано действие ряда нейропептидов на спонтанную активность гомологичных нейронов мол-

Таблица I

## Аминокислотный анализ синтезированных пептидов\*

Соединение	Gly				Ala				Asp				Ser				Glu				
	a	б	в	г	а	б	в	г	а	б	в	г	а	б	в	г	а	б	в	г	
(I)	2,98	2,90	2,90	2,97	3,00	2,03	4,96	2,08	2,00	0,95	1,04	1,07	1	0,96	1,03	1,07	1	1,04	1,02	0,92	1
(II)	2,94	3,02	2,97	2,96	2,03	1,95	1,97	2,01	2	1,03	0,96	1,02	1	0,96	0,95	0,94	1	1,03	1,02	0,95	1
(III)	2,03	1,94	2,03	2,02	3	1,98	2,06	2,07	2	1,05	0,98	1,03	1	0,96	0,95	0,98	1	1,02	1,02	1,01	1
(IV)	2,98	2,96	3,01	3	2,02	2,01	1,99	2	1,01	0,98	1,01	1,03	1	0,97	0,95	1	1,04	0,98	1,03	1	1
(V)	3,02	3,01	2,97	3	1,03	1,01	1,02	1,03	1	1,05	0,99	0,95	1	1,03	1,04	0,97	1	0,97	0,98	1,03	1
(VI)	1,03	0,95	1	2,06	1,98	2	1,02	1,04	1	1,02	1,04	1	0,95	0,96	1	0,98	1	0,98	1,03	1	1
(VII)	3,95	4,05	4	2,06	2,05	2	1,05	1,07	1	0,97	0,95	1,07	1	0,97	0,95	1	1,03	0,96	1	1	1
(VIII)	2,96	3,05	3	2,06	2,07	2	1,05	1,02	1	0,97	0,93	1,02	1	0,98	0,93	1	1,04	1,04	1	1	1
(IX)	2,07	1,98	2	3,07	2,96	3	1,06	1,08	1	0,98	0,95	1,08	1	1,01	1,05	1	1,05	1,08	1	1	1
(X)	2,03	1,94	2	3,09	2,91	3	1,06	0,95	1	0,97	1,05	1,08	1	0,98	1,06	1	1,05	0,98	1	1	1
(XI)	2,97	3,05	2,97	2,02	2,07	1,96	2	1,05	1,05	1	0,98	1,05	1,08	1	1,06	0,94	1	0,95	0,95	1	1
(XII)	2,98	3,05	2,96	2,05	2,05	1,98	2	1,05	1,05	1	0,98	1,05	1,08	1	1,07	0,98	1	0,98	0,97	1	1
Соединение	Glu-NH <sub>2</sub>				Trp				Tyr				Pro				Asp				
	a	б	в	г	а	б	в	г	а	б	в	г	а	б	в	г	а	б	в	г	
(I)									—	0,95	0,97	1	0,96	0,95	0,95	0,97	1				
(II)									—	0,94	0,96	1	0,95	0,94	0,94	1,02	1				
(III)									—	0,95	0,94	1	0,95	0,96	0,96	0,94	1				
(IV)									—	0,95	0,96	1	0,97	0,96	0,96	0,97	1				
(V)									—	0,97	0,96	1	0,95	0,97	0,97	0,98	1				
(VI)									—	0,96	0,96	1	0,95	0,96	0,96	0,97	1				
(VII)									—	0,98	0,98	1	1,05	0,95	0,95	0,98	1				
(VIII)									—	1,08	1,08	1	1,06	1,05	1,05	1	1,05	1			
(IX)									—	0,95	0,95	1	1,06	1,05	1,05	1	1,05	1			
(X)									—	1,06	1,05	1	1,05	1,05	1,05	1	1,05	1			
(XI)		1,05	1	—	—	1,06	—	—	—	1,06	1,05	1	—	—	—	—	—	—	—	—	—
(XII)		—	—	—	—	—	—	—	—	—	—	—	—	—	—	—	—	—	—	—	—

\* а — HCl, б — метансульфокислота, в — лейцинаминопептидаза, г — теория.

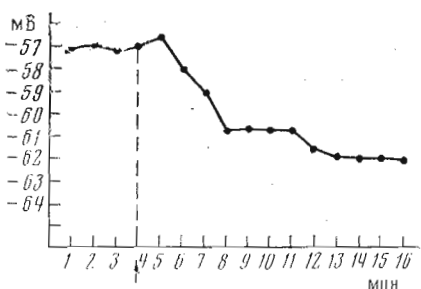


Рис. 5

Рис. 5. Влияние DSIP в концентрации  $10^{-8}$  М на потенциал покоя нейрона RPa1. Момент введения отмечен стрелкой

Рис. 6. Действие DSIP ( $10^{-8}$  М) на частоту спонтанной импульсной активности ( $f$ ) нейронов, RPa 6 (1) и V16 (2). Начало и конец воздействия отмечены стрелками

Рис. 7. Действие DSIP (1) и его аналогов  $[Glu(NH_2)]DSIP$  (2) и  $[Ava^{3,4}]DSIP$  (3) в концентрациях  $10^{-7}$  М на частоту спонтанной импульсной активности нейрона V3. Начало воздействия отмечено стрелкой. Вертикальными отрезками обозначена ошибка среднего значения частоты импульсной активности за 5 мин, отложенного в каждом интервале

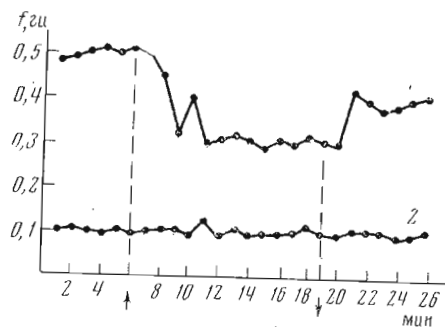


Рис. 6

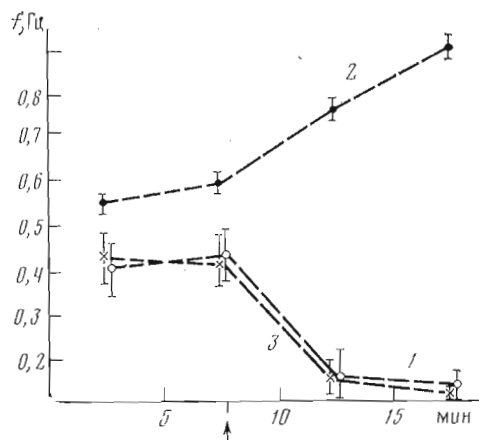


Рис. 7

люсков *Otala lactea* (клетка V11) и *Aplysia* (R15). Показана специфичность действия ряда пептидов.

Эффект DSIP и его аналогов на нейроны виноградной улитки оценивался по изменению основных показателей активности нейронов — частоты спонтанной импульсной активности и сдвигу потенциала покоя, регистрируемых внутриклеточными микроэлектродами по стандартной электрофизиологической методике [28].

Действие DSIP исследовалось на идентифицированных нейронах V3, V5, V7, V11, V12, V14, V16, RPa1, RPa5, RPa6, RPa8 и серотонинергических нейронах LMC1 церебральных ганглиев улитки. Введение в омывающий нервную систему раствор Рингера DSIP в концентрации  $5 \cdot 10^{-9}$  М вызывало уменьшение частоты спонтанной импульсной активности в среднем на 30–40% и гиперполяризационный сдвиг потенциала покоя на 1–4 мВ в нейронах V2, V3, V5, V7, RPa1, RPa5, RPa6, RPa8 и не оказывало эффекта на нейроны V12, V14, V16 и LMC1. Пептид (1) в концентрации  $10^{-8}$  М вызывал тот же эффект более стабильно, в связи с чем эта концентрация была использована в большинстве экспериментов (рис. 5, 6). При дальнейшем повышении концентрации DSIP до  $10^{-6}$  М эффект не изменился.

Наибольший эффект наблюдался в клетках, содержащих гранулы нейросекрета. Известно, что такие нейроны могут в качестве нейросекрета выделять пептиды [25]. DSIP не действовал на гигантские нейроны LMC1 метацеребральных ганглиев, для которых доказано участие серотонинергических механизмов.

Таблица 2

Действие DSIP и его аналогов на нервные клетки виноградной улитки *Helix lucorum* L

Соединение	Пороговая концентрация пептида, вызывающая гиперполяризацию и уменьшение частоты спонтанной импульсной активности нервных клеток, М	Соединение	Пороговая концентрация пептида, вызывающая гиперполяризацию и уменьшение частоты спонтанной импульсной активности нервных клеток, М
DSIP (I)	$5 \cdot 10^{-9}$	(VII)	$> 10^{-6}$
(II)	$10^{-7}$	(VIII)	$> 10^{-6}$
(III)	$10^{-7}$	(IX)	$> 10^{-6}$
(IV)	$10^{-7}$	(X)	$> 10^{-6}$
(V)	$10^{-7}$	(XI)	$10^{-7}$
(VI)	$5 \cdot 10^{-8}$	(XII)	$> 10^{-6}$

Действие аналогов (II)–(XII) изучалось на нейронах V3, V7, RPa5 и LMC1. Аналоги (II)–(V) вызывали те же эффекты, что и DSIP (уменьшение спонтанной импульсной активности в среднем на 30–40% и гиперполяризационный сдвиг потенциала покоя на 1–4 мВ в нейронах V3, V7 и RPa5) и не оказывали влияния на LMC1, но пороговые концентрации при этом были выше (табл. 2). Аналог (VI) действовал на те же нейроны, что и аналоги (II)–(V) в концентрации  $0,5 \cdot 10^{-8}$  М, в то время как аналоги (VII)–(X) и (XII) были неактивны вплоть до концентрации  $1 \cdot 10^{-6}$  М. Аналог (XI) в концентрации  $0,5 \cdot 10^{-8}$  М вызывал учащение спонтанной импульсной активности нейронов V3, V7, RPa5 на 50%, т. е. эффект, обратный DSIP (рис. 7), и не действовал на нейроны LMC1. Деполяризационный сдвиг потенциала покоя, вызываемый перфузией этого аналога, маскировался участвующей импульсной активностью, в связи с чем оценить его количественно не удалось. Полученные данные свидетельствуют о высокой структурной специфичности нейротропного действия DSIP и его аналогов на активность нейронов изолированной нервной системы виноградной улитки.

Было также изучено действие DSIP на системы распада ацетилхолина, серотонина и катехоламинов в синаптосомах и митохондриях различных отделов мозга кролика [29]. Во всех случаях DSIP в концентрации  $10^{-5}$  и  $10^{-6}$  М вызывал значительную (в 2–4 раза) активацию моноаминооксидазы А (субстрат — серотонин), в то время как активность монооксидазы В (субстрат — нитрофенилэтиламин) и ацетилхолинэстеразы не изменялась. Можно предположить, что действие DSIP на нейроны улитки также объясняется его участием в регуляции ферментов обмена медиаторов.

## Экспериментальная часть

В работе использовали аминокислоты и производные фирм «Reanal» и «Serva», ряд производных был приготовлен по известным методикам [30, 31]. Аминокислотные анализы кислотных гидролизатов пептидов (6 н. HCl, 20 ч, 110°C) проводили на аминокислотном анализаторе D-500 (Durrum, США). Для определения триптофана в конечных продуктах гидролиз осуществляли в метансульфонилкислоте, содержащей 0,2% 3-(2-аминоэтил)индола (20 ч, 110°C). Ферментативный гидролиз свободных пептидов проводили лейцинаминопептидазой (Мерск, ФРГ) по методике [13]. Для высоковольтного электрофореза использовали бумагу Ватман 3 ММ (напряжение 5000 В, 30 мин, AcOH — HCOOH — H<sub>2</sub>O, 6 : 1 : 50, pH 1,9, и 0,8 М пиридин-ацетатный буфер, pH 6,5). Температуры плавления (не исправлены) измерены в блоке Коффлера. Удельные вращения с точностью  $\pm 1^\circ$  определены при 25°C в дециметровой кювете на спектрополяриметре «Perkin-Elmer 141» (США). Ионообменную хроматографию проводили на DEAE-сепадексе A-25 (Pharmacia, Швеция) в аммоний-аце-

Таблица 3

## Объемные соотношения компонентов хроматографических систем

Растворитель	1	2	3	4	5	6	7	8	9	10	11	12	13	14	15	16	17
Хлороформ	6	6	12	6	60	60											
Этилацетат	2	3	6	3			1	3	2	1	1	30					
Метанол		1	1	1	50	40											
Бутанол								1	1	1	2	10		4	30	30	16
Гексан																	
Пиридин															12	24	10
Уксусная кислота				1									1	1	15	10	3
Вода														1	10	20	1
10% NH <sub>4</sub> OH					5	1											12
Ацетон																	4

татном буфере в изократическом или градиентном режимах в интервале молярности буфера от 0,1 до 0,3, pH 6,7–7,7 (колонка 2,5×10 см, скорость 30 мл/ч, нагрузка 0,2 г). В качестве детектирующего прибора использовали «Uvicord II» (LKB, Швеция). Высокоэффективную ионообменную хроматографию проводили на смоле DC-6A (Durrum, США) (рис. 4), эксклюзационную хроматографию — на приборе фирмы «Waters» (США) (рис. 2), тонкослойную хроматографию — на пластинках с закрепленным слоем силикагеля фирмы «Merck» в хроматографических системах, приведенных в табл. 3. Физико-химические константы соединений даны в табл. 4.

Все используемые растворители предварительно перегоняли; растворители, применяющиеся при проведении реакций конденсации, абсолютизовали обычным образом [36]. Для небольших пептидов (вплоть до пентапептидов) проводили элементный анализ, результаты которого удовлетворительно соответствовали теоретическим значениям.

Для тестирования на электрофизиологических моделях пептиды растворяли в растворе Рингера для холоднокровных непосредственно перед введением в микрованночку объемом 10 мл с изолированной центральной нервной системой виноградной улитки [28]. Регистрировали активность идентифицированных нейронов париетальных и висцерального ганглиев V3, V5, V7, V11, V12, V14, V16, RPa1, RPa5, RPa6, RPa8 и гигантских мезацеребральных нейронов LMC1. Стеклянные микропипетки с диаметром кончика около 0,5 мкм, заполненные 2 М раствором цитрата калия, вводились в нейроны с помощью микроманипулятора под визуальным контролем. Микроэлектроды соединялись со входом катодного повторителя (MZ-4 фирмы «Nihon Kohden», Япония) с помощью неполяризующихся хлорсеребряных электродов и агарового мостика. Одновременно проводили регистрацию активности 3–4 нейронов. Уровень шумов при сопротивлении микроэлектродов 10–20 мОм не превышал 0,2 мВ, дрейф аппаратуры 1 мВ/ч. Эксперименты проводили при комнатной температуре. Температура добавляемых растворов и омывающего центральную нервную систему раствора Рингера была одинакова. В качестве контроля в ряде экспериментов вводили 1 мл раствора Рингера, не вызвавшего изменений в активности нейронов ни в одном из опытов.

1. *Boc-Gly-Glu(OBzl)-OBzl(XIII)* (схема 1). К раствору 3,27 г (10,00 ммоль) H-Glu(OBzl)-OBzl в смеси 100 мл дioxана и 5 мл DMF добавляли 2,62 г (10,00 ммоль) Boc-Gly-ONSu, перемешивали 20 ч при 20° С. Растворитель упаривали при 40° С, остаток растворяли в этилацетате, промывали 10% лимонной кислотой, 5% NaHCO<sub>3</sub>, водой, высушивали над Na<sub>2</sub>SO<sub>4</sub> и упаривали. Выход дипептида 4,36 г (90%).

2. *Boc-Ser(Bzl)-Gly-Glu(OBzl)-OBzl (XIV)*. a) 4,84 г (10,00 ммоль) дипептида (XIII) растворяли в 50 мл CF<sub>3</sub>COOH и выдерживали 1 ч при 20° С.

Таблица 4

## Константы спиреизированных соединений

Соединение	Т. пп., °C	$[\alpha]_D^{25}$	$R_f$ (система по табл. 3)	Составление	Т. пп., °C	$[\alpha]_D^{25}$	$R_f$ (система по табл. 3)
(I)		-16,2 (c 0,3, H <sub>2</sub> O)	0,50(14)	(XXXI)	147	-7,9 (c 1,0, MeOH)	0,40(11)
(II)		-6,0 (c 0,2, H <sub>2</sub> O)	0,32(15)	(XXXII)	143	-14,9 (c 1,0, MeOH)	0,70(10)
(III)		-20,0 (c 0,3, H <sub>2</sub> O)	0,30(13)	(XXXIII)	130	-24,0 (c 4,0, DMF)	0,50(9)
(IV)		-33,3 (c 3,0, H <sub>2</sub> O)	0,44(17)	(XXXIV)	204	-18,0 (c 2,0, DMF)	0,30(10)
(V)		-17,7 (c 3,0, H <sub>2</sub> O)	0,18(13)	(XXXV)	112	-9,0 (c 4,0, MeOH)	0,70(7)
(VI)		-30,5 (c 0,3, H <sub>2</sub> O)	0,35(17)	(XXXVI)	136	-21,0 (c 1,0, DMF)	0,50(8)
(VII)		-4,9 (c 5,2, H <sub>2</sub> O)	0,50(13)	(XXXVII)	202	-27,5 (c 2,0, DMF)	0,80(4)
(VIII)		-20,0 (c 1,0, H <sub>2</sub> O)	0,40(3)	(XXXVIII)	-	-21,8 (c 4,0, MeOH)	0,60(7)
(IX)		-6,0 (c 5,0, H <sub>2</sub> O)	0,30(4)	(XXXIX)	136	-21,0 (c 1,0, DMF)	0,40(7)
(X)		-9,4 (c 0,3, H <sub>2</sub> O)	0,65(16)	(XL)	220	-4,9 (c 0,5, DMF)	0,50(2)
(XI)		-15,4 (c 0,5, H <sub>2</sub> O)	0,25(17)	(XL)	160	-13,1 (c 0,5, DMF)	0,80(11)
(XII)		-24,4 (c 0,3, H <sub>2</sub> O)	0,69(16)	(XLII)	152	-45,7 (c 0,5, DMF)	0,85(4)
(XIII)		-6,6 (c 0,3, MeOH)	0,62(16)	(XLIII)	128	-27,7 (c 0,5, DMF)	0,50(8)
(XIV)	76	-10,5 (c 1,0, MeOH)	0,44(17)	(XLIV)	209	-5,0 (c 0,5, DMF)	0,83(5)
(XV)	124	-9,7 (c 1,0, MeOH)	0,69(16)	(XLV)	162	-45,7 (c 0,5, DMF)	0,76(4)
(XVI)	143	-18,6 (c 1,0, DMF)	0,80(16)	(XLVI)	148	-27,7 (c 0,5, DMF)	0,60(5)
(XVII) *	163	+3,2 (c 1,0, DMF)	0,30(2)	(XLVII)	209	+4,5 (c 1,0, MeOH)	0,61(4)
			0,30(12)	(XLVII)	125	+9,0 (c 1,0, MeOH)	0,81(5)
			0,53(13)	(XLVII) *		-32,0 (c 1,0, DMF)	0,38(13)
			0,42(5)			+43,1 (c 0,5, MeOH)	0,44(4)
						-32,0 (c 1,0, MeOH)	0,59(5)
						+43,1 (c 0,5, MeOH)	0,42(5)
						-32,0 (c 1,0, DMF)	0,57(13)
						+43,1 (c 0,5, MeOH)	0,36(15)
						-32,0 (c 1,0, MeOH)	0,44(4)
						+43,1 (c 0,5, MeOH)	0,68(5)
						-32,0 (c 1,0, DMF)	0,77(13)
						+43,1 (c 0,5, MeOH)	0,77(13)

Продолжение табл. 4

Соединение	T. пл., °C	$[\alpha]_D^{25}$	$R_f$ (система по табл. 3)	Соединение	T. пл., °C	$[\alpha]_D^{25}$	$R_f$ (система по табл. 3)
(XVII)	209	-8,6 (c 1,0, DMF)	0,59(13)	(XLVIII)	173	+12,7 (c 0,5, MeOH)	0,68(5)
(XIX)	181	-9,7 (c 1,0, DMF)	0,82(5)	(XLIX)	214	-43,4 (c 0,5, DMF)	0,71(13)
(XX)	61	-10,2 (c 3,0, MeOH)	0,60(4)	(L)	210	-40,2 (c 0,5, DMF)	0,80(5)
			0,65(5)				0,75(13)
			0,70(10)				0,81(4)
			0,71(2)				0,71(6)
(XXXI)	88	-7,3 (c 0,3, MeOH)	0,72(9)	(LI)	193	-11,5 (c 0,5, DMF)	0,68(4)
(XXXII)	132	-18,5 (c 0,3, MeOH)	0,50(3)	(LII) <sup>4*</sup>	126	-48,8 (c 0,5, MeOH)	0,37(9)
			0,37(6)				0,64(5)
			0,40(2)				0,72(13)
(XXXIII)	105	-32,0 (c 0,3, MeOH)	0,30(9)	(LIII)	210	-42,4 (c 0,5, MeOH)	0,56(5)
(XXXIV)	174	-9,6 (c 0,5, DMF)	0,50(2)	(LIV)	200	-9,8 (c 0,5, DMF)	0,77(13)
			0,72(5)				0,70(6)
(XXXV)	66	-7,7 (c 0,5, MeOH)	0,79(4)	(LV)	142	-4,7 (c 0,5, MeOH)	0,78(4)
			0,37(11)				0,82(6)
			0,50(10)				0,37(2)
(XXXVI)	126	-6,0 (c 0,3, MeOH)	0,69(10)	(LVI)	110	-10,7 (c 0,5, MeOH)	0,80(6)
(XXXVII)	98	-17,4 (c 0,3, MeOH)	0,80(1)	(LVII)	140	-10,6 (c 0,5, MeOH)	0,42(2)
			0,55(1)				0,76(6)
			0,50(9)				0,25(2)
(XXXVIII)	125	-27,4 (c 0,4, MeOH)	0,94(9)	(LVIII)	72	-43,2 (c 0,5, DMF)	0,82(6)
(XXXIX)	147	-16,4 (c 0,4, DMF)	0,69(13)	(LIX)	212	-6,7 (c 0,5, DMF)	0,42(2)
			0,35(9)				0,74(5)
(XXX)	175	-6,6 (c 0,5, DMF)	0,57(2)				0,64(4)
			0,63(5)				0,36(9)
			0,51(4)				0,36(9)
			(LX)	157	-44,0 (c 0,5, DMF)	0,38(2)	0,47(4)
			(LXI)	243	-6,6 (c 0,5, DMF)	0,72(5)	

\* [32]: T. пл. 162—163°C,  $[\alpha]_D^{25}$  -14,2° (c 1,0; дихлоруксусная кислота).\*\* [33, 34]: T. пл. 154—155°C [33], 150—151°C [34];  $[\alpha]_D^{25}$  -60,4° (c 2,5; EtOH) [34].3\* [35]: T. пл. 125—127°C,  $[\alpha]_D^{25}$  +16,0° (c 2,7, EtOH).4\* [34]: T. пл. 127—128°C,  $[\alpha]_D^{25}$  -17,0° (c 2,6, EtOH).

$\text{CF}_3\text{COOH}$  упаривали в вакууме при  $40^\circ\text{C}$  и трифторацетат дипептида (XIIIa) высушивали в вакууме над  $\text{NaOH}$ . Выход количественный.

б) К раствору 2,95 г (10,00 ммоль)  $\text{Boc-Ser(Bzl)-OH}$  в смеси 100 мл диоксана и 10 мл DMF при охлаждении до  $0^\circ\text{C}$  и перемешивании добавляли 1,48 г (11,00) НОВТ и 2,26 г (11,00 ммоль) DCC. Через 5 мин к реакционной смеси приливали раствор 4,98 г (10,00 ммоль) трифторацетата (XIIIa) в 20 мл диоксана и 1,40 мл (10,00 ммоль) N-метилморфолина. Перемешивали 3 ч при  $0^\circ\text{C}$  и 20 ч при  $20^\circ\text{C}$ . Дициклогексимочевину отфильтровывали и растворитель удаляли упариванием. Остаток растворяли в этилацетате и оставляли на 12 ч при  $4^\circ\text{C}$ . Повторно отфильтровывали остатки мочевины, раствор промывали 10% лимонной кислотой, водой и высушивали над  $\text{Na}_2\text{SO}_4$ . Этилацетат частично упаривали и пептид (XIV) высаживали эфиром, после чего кристаллизовали из смеси этилацетат — эфир. Выход 5,42 г (82%).

3. *Boc-Ala-Ser(Bzl)-Gly-Glu(OBzl)-OBzl* (XV). а) Из 3,31 г (5,00 ммоль) пептида (XIV) в условиях опыта 2а получали трифторацетат (XIVa) с количественным выходом.

б) Из 0,95 г (5,00 ммоль)  $\text{Boc-Ala-OH}$  в смеси 50 мл диоксана и 5 мл DMF, 0,75 г (5,50 ммоль) НОВТ, 1,13 г (5,50 ммоль) DCC, 3,83 г (5,00 ммоль) трифторацетата (XIVa) и 0,55 мл (5,00 ммоль) N-метилморфолина в условиях опыта 2б получали тетрапептид (XV) (перекристаллизация из этилацетата). Выход 2,90 г (78%).

4. *Boc-Asp(OBzl)-Ala-Ser(Bzl)-Gly-Glu(OBzl)-OBzl* (XVI). а) Раствор 2,60 г (3,50 ммоль) пептида (XV) в 15 мл 50%  $\text{CF}_3\text{COOH}$  в  $\text{CH}_2\text{Cl}_2$  выдерживали 1 ч при  $20^\circ\text{C}$ ,  $\text{CF}_3\text{COOH}$  упаривали, к остатку добавляли 20 мл эфира, осадок трифторацетата тетрапептида (XVa) отфильтровывали и сушили в вакууме над  $\text{NaOH}$ . Выход 2,54 г (95%).

б) Из 2,54 г (3,36 ммоль) трифторацетата (XVa) в смеси 25 мл диоксана, 5 мл DMF, 0,37 мл (3,36 ммоль) N-метилморфолина и 1,47 г (3,36 ммоль)  $\text{Boc-Asp(OBzl)-ONSu}$  в условиях опыта 1 получали пептид (XVI) и кристаллизовали его из этилацетата. Выход 2,50 г (79%). Аминокислотный анализ: Gly 0,95 (1); Ala 1,06 (1); Asp 1,03 (1); Ser 0,93 (1); Glu 1,02 (1).

5. *Z-Ala-Gly-Gly-OH* (XVII). К раствору 1,45 г (11,00 ммоль)  $\text{H-Gly-Gly-OH}$  в 25 мл воды добавляли 0,44 г (11,00 ммоль)  $\text{NaOH}$ . Через 15 мин при перемешивании и охлаждении до  $0^\circ\text{C}$  постепенно приливали раствор 3,20 г (10,00 ммоль) Z-Ala-ONSu в смеси 10 мл диоксана и 5 мл DMF и перемешивали 2 ч при  $0^\circ\text{C}$  и 20 ч при  $20^\circ\text{C}$ . Далее растворитель упаривали, к остатку добавляли раствор 0,2 н.  $\text{H}_2\text{SO}_4$  до кислой реакции, после чего полученный пептид (XVII) экстрагировали этилацетатом дважды. Объединенные этилацетатные вытяжки промывали насыщенным раствором  $\text{NaCl}$  до нейтральной реакции и сушили над  $\text{Na}_2\text{SO}_4$ . Пептид (XVII) кристаллизовали из этилацетата. Выход 3,26 г (94%).

6. *Z-Trp-Ala-Gly-Gly-OH* (XVIII). а) 1,68 г (5,00 ммоль) Z-Ala-Gly-Gly-OH (XVII) гидрировали 3 ч в 25 мл MeOH, содержащего 0,3 мл ледяной  $\text{CH}_3\text{COOH}$  над Pd-чернью. Затем к реакционной смеси приливали 10 мл воды, катализатор отфильтровывали и растворитель упаривали. Выход ацетата трипептида (XVIIa) количественный.

б) Из 1,32 г (5,00 ммоль) ацетата (XVIIa) в 50 мл воды, 1,40 г (10,00 ммоль)  $\text{NaHCO}_3$  и 2,18 г (5,00 ммоль) Z-Trp-ONSu в 20 мл DMF в условиях опыта 5 получали пептид (XVIII) с выходом 2,22 г (85%). Аминокислотный анализ: Gly 2,05 (2); Ala 1,02 (1).

7. *Z-Trp-Ala-Gly-Gly-Asp(OBzl)-Ala - Ser(Bzl) - Gly - Glu(OBzl) - OBzl* (XIX). а) Из 1,00 г (1,05 ммоль) пептида (XVI) в условиях опыта 4а получали трифторацетат (XVIa) с выходом 0,95 г (95%).

б) К раствору 0,60 г (1,15 ммоль) пептида (XVIII) в 20 мл DMF добавляли 0,13 мл (1,15 ммоль) N-метилморфолина, смесь охлаждали до  $-15^\circ\text{C}$  и приливали 0,45 мл (1,10 ммоль) изобутилхлорформиата. Через

3 мин к смеси добавляли охлажденный до  $-15^{\circ}\text{C}$  раствор 0,95 г (1,00 ммоль) трифторацетата (XVIa) в 20 мл DMF и 0,11 мл (1,00 ммоль) N-метилморфолина. Перемешивание продолжали 3 ч при  $-15^{\circ}\text{C}$  и 1 ч при  $0^{\circ}\text{C}$ . К реакционной смеси приливали насыщенный раствор  $\text{NaHCO}_3$ , выпавший осадок отфильтровывали, промывали водой, бутанолом, этилацетатом и сушили в вакууме. Выход 1,06 г (73%). Аминокислотный анализ: Gly 3,02 (3); Ala 2,06 (2); Asp 0,97 (1); Ser 0,98 (1); Glu 0,95 (1).

8. *Trp-Ala-Gly-Gly-Asp-Ala-Ser-Gly-Glu* (I). 0,50 г (0,34 ммоль) пептида (XIX) гидрировали 4 ч над Pd-чернью в 50 мл DMF, содержащего 0,5 мл ледяной уксусной кислоты, к реакционной смеси приливали 20 мл воды, катализатор отфильтровывали, растворитель упаривали при  $30^{\circ}\text{C}$  в вакууме, остаток растворяли в воде и раствор лиофилизовали. Сырой продукт (0,3 г) подвергали ионообменной хроматографии на колонке с DEAE-сепадексом A-25, используя 0,3М  $\text{CH}_3\text{COONH}_4$ , pH 6,7. Выход 0,2 г (83%).

9. *Boc-Gly-Tyr(Bzl)-OBzl* (XX). Из 6,74 г (16,00 ммоль) ацетата Н-Тир(Bzl)-OBzl [37] в смеси 30 мл диоксана и 10 мл DMF, 1,76 мл (16,00 ммоль) N-метилморфолина и 4,24 г (16,16 ммоль) Boc-Gly-ONSu в условиях опыта 1 получали дипептид (XX), который кристаллизовали из смеси эфира и гексана. Выход 7,20 г (87%).

10. *Boc-Ser(Bzl)-Gly-Tyr(Bzl)-OBzl* (XXI). a) К раствору 5,18 г (10,00 ммоль) пептида (XX) в 20 мл ледяной  $\text{CH}_3\text{COOH}$  приливали 4,26 мл (30,00 ммоль) эфирата трифторида бора, выдерживали 30 мин при  $4^{\circ}\text{C}$ , приливали 10 мл 10% раствора  $\text{CH}_3\text{COONa}$  и продукт (XXa) экстрагировали из образовавшейся эмульсии этилацетатом. Экстракт сушили над  $\text{Na}_2\text{SO}_4$  и этилацетат упаривали. Ацетат (XXa) кристаллизовали из эфира. Выход 4,26 г (89%).

б) Из 4,26 г (8,90 ммоль) ацетата (XXa) в смеси 25 мл диоксана и 10 мл DMF, 0,98 мл (8,90 ммоль) N-метилморфолина и 3,84 г (9,79 ммоль) Boc-Ser(Bzl)-ONSu в условиях опыта 1 получали трипептид (XXI), который кристаллизовали из смеси эфира и гексана. Выход 6,50 г (93%).

11. *Boc-Ala-Ser(Bzl)-Gly-Tyr(Bzl)-OBzl* (XXII). a) Из 6,00 г (8,62 ммоль) пептида (XXI) в условиях опыта 10a получали ацетат (XXIa) с выходом 5,20 г (92%).

б) Из 5,20 г (7,93 ммоль) ацетата (XXIa) в смеси 25 мл диоксана и 10 мл DMF, 0,91 мл (7,93 ммоль) N-метилморфолина и 2,41 г (8,72 ммоль) Boc-Ala-ONSu в условиях опыта 1 получали тетрапептид (XXII), который кристаллизовали из эфира. Выход 6,01 г (99%).

12. *Boc-Asp(OBzl)-Ala-Ser(Bzl)-Gly-Tyr(Bzl)-OBzl* (XXIII). a) Из 5,50 г (7,17 ммоль) пептида (XXII) в условиях опыта 10a (для экстракции использовали смесь 50 мл бутанола и 100 мл этилацетата) получали кристаллизацией из смеси этилацетата и эфира ацетат (XXIIa) с выходом 5,30 г (98%).

б) Из 5,30 г (7,02 ммоль) ацетата (XXIIa), 0,77 мл (7,02 ммоль) N-метилморфолина и 3,39 г (7,02 ммоль) Boc-Asp(OBzl)-ONSu в условиях опыта 1 получали пентапептид (XXIII), который кристаллизовали из этилацетата. Выход 6,05 г (89%). Аминокислотный анализ: Gly 0,98 (1); Ala 1,06 (1); Asp 0,96 (1); Ser 0,98 (1); Тир 0,95 (1).

13. *Z-Trp-Ala-Gly-Gly-Asp(OBzl)-Ala - Ser(Bzl)-Gly - Tyr(Bzl)-OBzl* (XXIV). a) 1,20 г (1,24 ммоль) пептида (XXIII) обрабатывали эфиратом трифторида бора аналогично опыту 10a. Выпавший после добавления раствора  $\text{CH}_3\text{COONa}$  осадок промывали водой и высушивали над  $\text{P}_2\text{O}_5$ . Выход ацетата (XXIIa) 0,95 г (83%).

б) Из 0,57 г (1,10 ммоль) Z-Trp-Ala-Gly-Gly (XVIII), 0,12 мл (1,10 ммоль) N-метилморфолина, 0,14 мл (1,05 ммоль) изобутилхлорформиата, 0,93 г (1,00 ммоль) ацетата (XXIIa) и 0,11 мл (1,00 ммоль) N-метилморфолина по методике 7б получили нонапептид (XXIV). Выход 0,94 г (68%). Аминокислотный анализ: Gly 3,03 (3); Ala 2,02 (2); Asp 0,95 (1); Ser 0,98 (1); Тир 0,97 (1).

14. *Trp-Ala-Gly-Gly-Asp-Ala-Ser-Gly-Tyr* (II). 0,5 г (0,36 ммоль) нонапептида (ХХІV) гидрировали в течение 12 ч и обрабатывали в условиях опыта 8. Сырой продукт (0,3 г) подвергали ионообменной хроматографии на колонке с DEAE-сепадексом А-25 в градиентном режиме в интервале 0,1–0,2 М AcONH<sub>4</sub>, pH 7,7. Выход 0,07 г (22%).

15. *Boc-Tyr(Bzl)-Glu(OBzl)-OBzl* (XXV). К раствору 6,54 г (20,00 ммоль) H-Glu(OBzl)-OBzl в 100 мл этилацетата добавляли 9,85 г (20,00 ммоль) Boc-Тир(Bzl)-ONp, 2,70 г (20,00 ммоль) НОВТ и перемешивали 20 ч при 20° С. Реакционную смесь промывали 10% лимонной кислотой, 1% NH<sub>4</sub>OH, водой, высушивали над Na<sub>2</sub>SO<sub>4</sub>, упаривали и остаток кристаллизовали из эфира при добавлении гексана. Дипептид (XXV) перекристаллизовывали из эфира. Выход 9,63 г (71%).

16. *Boc-Tyr(BzlCl<sub>2</sub>)-Glu(OBzl)-OBzl* (XXVI). К раствору 3,27 г (10,00 ммоль) H-Glu(OBzl)-OBzl в 50 мл этилацетата добавляли 5,37 г (10,00 ммоль) Boc-Тир(BzlCl<sub>2</sub>)-ONSu, перемешивали 20 ч при 20° С и обрабатывали согласно опыту 1. Дипептид (XXVI) кристаллизовали из эфира. Выход 6,9 г (88%).

17. *Boc-Tyr-Glu-OH* (XXVIa). 0,78 г (1,00 ммоль) пептида (XXVI) гидрировали 20 ч в 25 мл DMF над Pd-чернью. Катализатор отфильтровывали, DMF упаривали досуха и остаток обрабатывали эфиром. В результате была получена сложная смесь продуктов.

18. *Boc-Ser(Bzl)-Tyr(Bzl)-Glu(OBzl)-OBzl* (XXVII). а) Из 6,8 г (10,00 ммоль) пептида (XXV) в условиях опыта 10а получали ацетат (XXVa) с выходом 5,45 г (85%).

б) Из 5,45 г (8,51 ммоль) ацетата (XXVa) в 50 мл этилацетата, 0,94 мл (8,51 моль) N-метилморфолина и 3,67 г (9,36 ммоль) Boc-Ser(Bzl)-ONSu в условиях опыта 1 получали трипептид (XXVII), который кристаллизовали из смеси этилацетата и эфира, а затем перекристаллизовывали из той же смеси. Выход 5,23 г (61%).

19. *Boc-Ala-Ser(Bzl)-Tyr(Bzl)-Glu(OBzl)-OBzl* (XXVIII). а) Из 4,29 г (5,00 ммоль) Boc-Ser(Bzl)-Tyr(Bzl)-Glu(OBzl)-OBzl пептида (XXVII) в условиях опыта 10а получали ацетат трипептида (XXVIIIa) с выходом 3,34 г (79%).

б) Из 3,31 г (4,00 ммоль) ацетата (XXVIIIa) в смеси 50 мл этилацетата и 5 мл DMF, 0,44 мл (4,00 ммоль) N-метилморфолина и 1,22 г (4,40 ммоль) Boc-Ala-ONSu в 25 мл этилацетата в условиях опыта 1 получали тетрапептид (XXVIII), который переосаждали из этилацетата эфиром. Выход 2,85 г (71%).

20. *Boc-Asp(OBzl)-Ala-Ser(Bzl)-Tyr(Bzl)-Glu(OBzl)-OBzl* (XXIX). а) Из 4,65 г (5,00 ммоль) пептида (XXVIII) в условиях опыта 10а получали ацетат тетрапептида (XXVIIIa) с выходом 3,60 г (81%).

б) Из 3,60 г (4,05 ммоль) ацетата (XXVIIIa) в смеси 60 мл этилацетата и 10 мл DMF, 0,45 мл (4,05 ммоль) N-метилморфолина и 1,95 г (4,45 ммоль) Boc-Asp(OBzl)-ONSu в условиях опыта 1 получали пентапептид (XXIX), который кристаллизовали из смеси этилацетат – эфир. Выход 3,10 г (67%). Аминокислотный анализ: Ala 1,06 (1); Asp 0,95 (1); Ser 0,98 (1); Glu 1,02 (1); Тир 0,97 (1).

21. *Z-Trp-Ala-Gly-Gly-Asp(OBzl)-Ala - Ser(Bzl) - Tyr(Bzl) - Glu(OBzl)-OBzl* (XXX). а) Из 2,84 г (2,50 ммоль) пептида (XXIX) в условиях опыта 10а получали ацетат пентапептида (XXIXa), при этом экстракцию проводили бутанолом и продукт кристаллизовали из этилацетата. Выход 2,20 г (80%).

б) Из 1,15 г. (2,20 ммоль) тетрапептида (XVIII), 0,24 мл (2,20 ммоль) N-метилморфолина, 0,29 мл (2,10 ммоль) изобутилхлорформиата, 2,01 г (2,00 ммоль) ацетата (XXIXa) и 0,22 мл (2,00 ммоль) N-метилморфолина по методике 7б получали 2,0 г (65%) нонапептида (XXX). Аминокислотный анализ: Gly 2,05 (2); Ala 1,98 (2); Asp 0,96 (1); Ser 0,97 (1); Glu 1,03 (1); Тир 0,96 (1).

22. *Trp-Ala-Gly-Gly-Asp-Ala-Ser-Tyr-Glu* (*III*). 1,0 г (1,05 ммоль) нонапептида (*XXX*) гидрировали 10 ч и обрабатывали в условиях опыта 8. Сырой продукт (0,85 г) подвергали ионообменной хроматографии на колонке с DEAE-сепадексом А-25 в 0,3 М CH<sub>3</sub>COONH<sub>4</sub>, pH 6,7.

23. *Boc-Tyr(Bzl)-Gly-Glu(OBzl)-OBzl* (*XXXI*). К раствору 9,97 г (20,00 ммоль) трифторацетата (*XIIIa*) в 150 мл этилацетата добавляли 0,22 мл (20,00 ммоль) N-метилморфоролина, 9,85 г (20,00 ммоль) Вос-Тир(Bzl)-ONp и 2,70 г (20,00 ммоль) НОВТ. Перемешивали 20 ч при 20° С, после чего реакционную смесь обрабатывали аналогично опыту 15. Полученный трипептид (*XXXI*) кристаллизовали из эфира и перекристаллизовывали из этилацетата. Выход 9,60 г (65%).

24. *Boc-Ala-Tyr(Bzl)-Gly-Glu(OBzl)-OBzl* (*XXXII*). 6,77 г (9,80 ммоль) ацетата (*XXXIa*), полученного в условиях опыта 10a с выходом 98%, растворяли в 100 мл этилацетата, приливали 1,07 мл (9,80 ммоль) N-метилморфоролина и раствор 2,80 г (9,80 ммоль) Вос-Ala-ONSu в этилацетате. Реакционную смесь выдерживали 20 ч при 20° С и обрабатывали как в опыте 1. Тетрапептид (*XXXII*) перекристаллизовывали дважды из этилацетата. Выход 3,23 г (40%).

25. *Boc-Asp(OBzl)-Ala-Tyr(Bzl)-Gly-Glu(OBzl)-OBzl* (*XXXIII*) получали из 0,77 г (1,00 ммоль) ацетата (*XXXIIa*) в 20 мл диоксана (получен из пептида (*XXXII*) в условиях опыта 10a с выходом 99%), 0,11 мл (1,00 ммоль) N-метилморфоролина, 0,42 г (1,00 ммоль) Вос-Asp(OBzl)-ONSu в условиях опыта 1 (кристаллизация из смеси этилацетат — гексан). Выход 0,71 г (70%). Аминокислотный анализ: Gly 1,02 (1); Ala 0,95 (1); Asp 1,02 (1); Glu 1,03 (1); Тир 0,98 (1).

26. *Z-Trp-Ala-Gly-Gly-Asp(OBzl)-Ala-Tyr(Bzl)-Gly-Glu(OBzl)-OBzl* (*XXXIV*) выделяли в условиях опыта 7б из 0,58 г (1,10 ммоль) пептида (*XVIII*), 0,12 мл (1,10 ммоль) N-метилморфоролина, 0,15 мл (1,05 ммоль) изобутилхлорформиата, 0,97 г (1,00 ммоль) ацетата (*XXXIIa*), полученного аналогично ацетату (*XXa*) с выходом 97%, и 0,11 мл (1,00 ммоль) N-метилморфоролина. Выход 1,09 г (75%). Аминокислотный анализ: Gly 3,03(3); Ала 1,96 (2); Asp 1,04 (1); Glu 0,95 (1); Тир 0,94 (1).

27. *Trp-Ala-Gly-Gly-Asp-Ala-Tyr-Gly-Glu* (*IV*). 1,44 г (1,00 ммоль) нонапептида (*XXXIV*) гидрировали 10 ч и обрабатывали в условиях опыта 8. Сырой продукт (1,4 г) подвергали ионообменной хроматографии на колонке с DEAE-сепадексом А-25 в 0,3 М CH<sub>3</sub>COONH<sub>4</sub>, pH 6,7. Выход 0,65 г (70%).

28. *Boc-Tyr(Bzl)-Ser(Bzl)-Gly-Glu(OBzl)-OBzl* (*XXXV*). К раствору 13,51 г (20,00 ммоль) трифторацетата (*XIVa*) в этилацетате приливали 2,20 мл (20,00 ммоль) N-метилморфоролина и при перемешивании добавляли 9,85 г (20,00 ммоль) Вос-Тир(Bzl)-ONp и 2,70 г (20,00 ммоль) НОВТ. Полученный в условиях опыта 15 тетрапептид (*XXXV*) перекристаллизовывали из смеси этилацетата с гексаном. Выход 13,90 г (76%).

29. *Boc-Asp(OBzl)-Tyr(Bzl)-Ser(Bzl)-Gly-Glu(OBzl)-OBzl* (*XXXVI*) получали из 0,87 г (1,00 ммоль) ацетата (*XXXVa*) в 20 мл диоксана (получен из пептида (*XXXV*) по методике 10a с выходом 98%), 0,11 мл (1,00 ммоль) N-метилморфоролина и 0,42 г (1,00 ммоль) Вос-Asp(OBzl)-ONSu в условиях опыта 1. Выход 0,84 г (75%). Кристаллизация из этилацетата. Аминокислотный анализ: Gly 1,06 (1); Asp 1,02 (1); Ser 0,98 (1); Glu 1,02 (1); Тир 0,97 (1).

30. *Z-Trp-Ala-Gly-Gly-Asp(OBzl)-Tyr(Bzl)-Ser(Bzl)-Gly-Glu(OBzl)-OBzl* (*XXXVII*) получали из 0,58 г (1,10 ммоль) тетрапептида (*XVIII*), 0,12 мл (1,10 ммоль) N-метилморфоролина, 0,15 мл (1,05 ммоль) изобутилхлорформиата, 1,08 г (1,00 ммоль) ацетата (*XXXVIa*), полученного в условиях опыта 10a с выходом 95%, и 0,11 мл (1,00 ммоль) N-метилморфоролина по методике 7б. Выход 0,86 г (60%). Аминокислотный анализ: Gly 2,93 (3); Ала 1,06 (1); Asp 0,98 (1); Glu 0,97 (1); Ser 0,96 (1); Тир 1,02 (1).

31. *Trp-Ala-Gly-Gly-Asp-Tyr-Ser-Gly-Glu* (*V*). 1,43 г (1,00 ммоль) пеп-

тида (XXXVII) гидрировали 8 ч и выделяли в условиях опыта 8. Сырой продукт (0,70 г) хроматографировали на колонке с DEAE-сепадексом А-25 в 0,3 М  $\text{CH}_3\text{COONH}_4$ . Выход 0,54 г (77%).

32. *Boc-Ala-Ava-OH* (XXXVIII). К раствору 1,80 г (15,38 ммоль)  $\delta$ -аминовалериановой кислоты в 50 мл воды при непрерывном перемешивании добавляли 1,38 г (15,38 ммоль)  $\text{KHCO}_3$ , через 5 мин к реакционной смеси порциями приливали раствор 4,25 г (15,38 ммоль) *Boc-Ala-ONSu* в 50 мл диоксана. Перемешивали 20 ч при 20°С, диоксан упаривали, водный раствор подкисляли 0,2 н.  $\text{H}_2\text{SO}_4$  до pH 2,3 и пептид (XXXVIII) экстрагировали из воды этилацетатом ( $3 \times 50$  мл). Объединенные этилацетатные вытяжки промывали водой, высушивали над  $\text{Na}_2\text{SO}_4$  и упаривали. Выход (масло) 4,20 г (95%).

33. *Z-Trp-Ala-Ava-OH* (XXXIX). а) Из 1,44 г (5,00 ммоль) дипептида (XXXVIII) в условиях опыта 2а получали трифторацетат (XXXVIIIa) с выходом 1,48 г (98%).

б) К раствору 1,48 г (4,90 ммоль) ацетата (XXXVIIIa) в 50 мл воды при перемешивании добавляли 0,54 мл (4,30 ммоль) N-метилморфоролина и раствор 2,13 г (4,90 ммоль) *Z-Trp-ONSu* в 50 мл диоксана. Реакционную смесь перемешивали 20 ч при 20°С, диоксан упаривали, водный слой подкисляли 0,2 н.  $\text{H}_2\text{SO}_4$  до pH 3 и пептид экстрагировали этилацетатом ( $2 \times 150$  мл), этилацетатные вытяжки промывали водой, сушили над  $\text{Na}_2\text{SO}_4$  и упаривали до 50 мл. Трипептид (XXXIX) кристаллизовали из этилацетата. Выход 2,3 г (92%). Аминокислотный анализ: Ala 1,01 (1); Ava 0,97 (1).

34. *Z-Trp-Ala-Ava - Asp(OBzl)-Ala-Ser(Bzl)-Gly-Glu(OBzl)-OBzl* (XL) получали из 0,51 мг (1,00 ммоль) трипептида (XXXIX), 0,11 мл (1,00 ммоль) N-метилморфоролина, 0,130 мл (0,95 ммоль) изобутилхлорформиата, 0,87 г (0,90 ммоль) трифторацетата (XVIa) и 0,10 мл (0,90 ммоль) N-метилморфоролина в условиях опыта 7б. Выход 0,75 г (92%). Аминокислотный анализ: Gly 0,97 (1); Ala 1,02 (1); Asp 1,03 (1); Ser 0,98 (1); Glu 1,01 (1); Ava 1,03 (1).

35. *Trp-Ala-Ava-Asp-Ala-Ser-Gly-Glu* (VI). 1,34 г (1,00 ммоль) октапептида (XL) гидрировали 8 ч и выделяли в условиях опыта 8. Сырой продукт (0,80 г) хроматографировали на колонке с DEAE-сепадексом в 0,3 М  $\text{CH}_3\text{COONH}_4$ , pH 6.7. Выход 0,47 г (56%).

36. *Z-Gly-Pro-OH* (XII) (схема 2). 3,0 г (26,00 ммоль) *H-Pro-OH* растворяли в 20 мл  $\text{H}_2\text{O}$ , добавляли 2,18 г (26,00 ммоль)  $\text{NaHCO}_3$  и при перемешивании и охлаждении до 0°С приливали раствор 6,36 г (26,00 ммоль) *Z-Gly-ONp* и 3,51 г (26,00 ммоль) НОВТ в 50 мл диоксана. Реакционную смесь перемешивали 20 ч при 20°С, после чего диоксан и воду упаривали. Остаток растворяли в 1%  $\text{NH}_3\text{OH}$  и нитрофенол экстрагировали ( $2 \times 50$  мл) этилацетатом. Затем водный слой подкисляли 10% лимонной кислотой и пептид (XLI) экстрагировали этилацетатом. Этилацетатный экстракт промывали водой, сушили над  $\text{Na}_2\text{SO}_4$  и пептид (XLI) кристаллизовали из смеси этилацетат — эфир. Выход 5,0 г (63%).

37. *Z-Gly-Pro-ONSu* (XLIa). 1,70 г (5,50 ммоль) пептида (XLI) растворяли в смеси 100 мл этилацетата и 5 мл DMF, охлаждали до 0°С и при перемешивании добавляли 1,24 г (6,05 ммоль) DCC и 0,70 г (6,50 ммоль) N-оксисукциниимид. Перемешивали 3 ч при 0°С и 20 ч при 20°С. Отфильтровывали дициклогексилмочевину и кристаллизовали из этилацетата. Выход 2,50 г (61%).

38. *Z-Gly-Pro-Trp-Ala-Gly-Gly-OH* (XLII). а) 2,30 г (4,40 ммоль) тетрапептида (XVIII) гидрировали в условиях опыта 6а и ацетат (XVIIIa) лиофилизовали. Выход количественный.

б) 2,0 г (4,40 ммоль) ацетата (XVIIIa) растворяли в 100 мл воды и добавляли 0,97 мл (8,80 ммоль) N-метилморфоролина, к смеси приливали раствор 1,95 г (4,84 ммоль) активированного эфира (XLIIa) в 50 мл DMF. Перемешивали 20 ч при 20°С. Растворители упаривали, остаток раствор-

ряли в этилацетате и промывали 10% лимонной кислотой, водой, сушили над  $\text{Na}_2\text{SO}_4$  и пептид (XLII) кристаллизовали из этилацетата. Выход 2,30 г (77%). Аминокислотный анализ: Gly 3,03 (3); Ala 1,01 (1); Pro 0,97 (1).

39. Z - Gly-Pro-Trp-Ala-Gly-Gly-Asp(OBzl)-Ala-Ser(Bzl)-Gly-Glu(OBzl)-OBzl (XLIII) получали из 1,03 г (1,51 ммоль) гексапептида (XLII), 0,17 мл (1,51 ммоль) N-метилморфолина, 0,19 мл изобутилхлорформиата, 1,30 г (1,36 ммоль) трифторацетата (XVIa) и 0,15 мл (1,36 ммоль) N-метилморфолина по методике 7б. Выход 2,0 г (96%). Аминокислотный анализ: Gly 3,98 (4); Ala 2,03 (2); Asp 1,02 (1); Ser 0,97 (1); Glu 0,98 (1); Pro 1,02 (1).

40. H-Gly-Pro-Trp-Ala-Gly-Gly-Asp-Ala-Ser - Gly - Glu (VII). 1,0 г (0,66 ммоль) пептида (XLIII) гидрировали 20 ч и обрабатывали в условиях опыта 8. Сырой продукт (0,8 г) хроматографировали на колонке с DEAE-сепадексом А-25 в 0,3 М  $\text{CH}_3\text{COONH}_4$ , pH 6,7. Выход 0,60 г (91%).

41. Z-D-Ala-Gly-Gly-OH (XLIV) (схема 1). Из 1,45 г (11,00 ммоль) H-Gly-Gly-OH, 0,44 г (11,00 ммоль) NaOH и 3,20 г (10,00 ммоль) Z-D-Ala-ONSu в условиях опыта 5 получали с выходом 2,76 г (80%) трипептид (XLIV) (пептид высаживали эфиrom из этилацетата).

42. Z-Trp-D-Ala-Gly-Gly-OH (XLV). a) 1,38 г (4,00 ммоль) трипептида (XLIV) гидрировали в условиях опыта ба. Выход ацетата трипептида (XLVa) количественный.

б) Из 1,09 г (4,00 ммоль) ацетата (XLVa), 0,67 г (8,00 ммоль)  $\text{NaHCO}_3$  и 1,81 г (4,00 ммоль) Z-Trp-ONSu в условиях опыта бб получали пептид (XLV). Выход 1,65 г (75%). Аминокислотный анализ: Gly 2,01 (2); Ala 0,99 (1).

43. Z - Trp - D-Ala-Gly-Gly-Asp(OBzl)-Ala-Ser(Bzl)-Gly-Glu(OBzl)-OBzl (XLVI) получали из 0,60 г (1,15 ммоль) пептида (XLV), 0,13 мл (1,15 ммоль) N-метилморфолина, 0,15 мл (1,10 ммоль) изобутилхлорформиата, 0,95 г (1,00 ммоль) трифторацетата (XVIa) и 0,11 мл (1,00 ммоль) N-метилморфолина по методике 7б. Выход 1,2 г (79%). Аминокислотный анализ: Gly 3,07 (3); Ala 1,98 (2); Asp 0,98 (1); Ser 0,99 (1); Glu 1,02 (1).

44. Trp-D-Ala-Gly-Gly-Asp-Ala-Ser-Gly-Glu (VIII). 1,0 г (0,68 ммоль) пептида (XLVI) гидрировали 20 ч в условиях опыта 8. Сырой продукт (0,7 г) хроматографировали на колонке с DEAE-сепадексом А-25 в 0,3 М  $\text{CH}_3\text{COONH}_4$ , pH 6,7. Выход 0,20 г (35%).

45. Z-D-Ala-Gly-OH (XLVII) (схема 3) получали из 1,47 г (19,60 ммоль) H-Gly-OH, 0,70 г (19,60 ммоль) NaOH и 6,28 г (19,60 ммоль) Z-D-Ala-ONSu в условиях опыта 5. Выход 4,20 г (76%).

46. Z-Ala-D-Ala-Gly-OH (XLVIII). a) Из 4,20 г (15,00 ммоль) дипептида (XLII) в условиях опыта ба получали ацетат (XLVIIa) с количественным выходом.

б) Из 3,09 г (15,00 ммоль) ацетата (XLVIIa) в 50 мл  $\text{H}_2\text{O}$ , 3,22 г (30,00 ммоль)  $\text{NaHCO}_3$ , 4,80 г (15,00 ммоль) Z-Ala-ONSu в 20 мл DMF в условиях опыта 5 получали пептид (XLVIII). Выход 3,50 г (66%).

47. Z-Trp-Ala-D-Ala-Gly-OH (XLIX). a) Из 1,05 г (3,00 ммоль) трипептида (XLVIII) в условиях опыта ба получали ацетат трипептида (XLVIIa) с количественным выходом.

б) Из 0,83 г (3,00 ммоль) ацетата (XLVIIa), 0,64 г (6,00 ммоль)  $\text{NaHCO}_3$  и 1,31 г (3,00 ммоль) Z-Trp-ONSu в условиях опыта 5 получали 1,40 г (88%) тетрапептида (XLIX). Аминокислотный анализ: Gly 2,01 (2); Ala 0,98 (1).

48. Z-Trp-Ala-D-Ala-Gly-Asp(OBzl)-Ala-Ser(Bzl)-Gly-Glu(OBzl)-OBzl (L) получали из 1,50 г (2,80 ммоль) тетрапептида (XLIX), 0,31 мл (2,80 ммоль) N-метилморфолина, 0,36 мл (2,66 ммоль) изобутилхлорформиата, 2,40 г (2,52 ммоль) трифторацетата (XVIa) и 0,28 мл (2,52 ммоль) N-метилморфолина по методике 7б. Аминокислотный анализ: Gly 2,03 (2); Ala 2,98 (3); Asp 1,02 (1); Ser 0,98 (1); Glu 1,03 (1).

49. *Trp-Ala-D-Ala-Gly-Asp-Ala-Ser-Gly-Glu* (*IX*). 1,0 г (0,73 ммоль) пептида (*L*) гидрировали 20 ч и обрабатывали в условиях опыта 8. Сырой продукт (0,75 г) хроматографировали на колонке с DEAE-сепадексом А-25 в 0,3 М AcONH<sub>4</sub>, pH 6,7. Выход 0,44 г (70%).

50. *Boc-D-Ala-Asp(OBzl)-Ala-Ser(Bzl)-Gly-Glu(OBzl)-OBzl* (*LI*) (схема 4) получали из 1,80 г (1,98 ммоль) трифторацетата (*XVIIa*), 0,22 мл (1,98 ммоль) N-метилморфолина и 0,56 г (1,98 ммоль) *Boc-D-Ala-ONSu* в условиях опыта 1 и кристаллизовали из этилацетата. Выход 1,20 г (80%). Аминокислотный анализ: Gly 1,04 (1); Ala 2,05 (2); Asp 0,97 (1); Ser 0,98 (1); Glu 1,01 (1).

51. *Z-Ala-Gly-OH* (*LII*) получали из 1,5 г (20,00 ммоль) H-Gly-OH, 0,80 г (20,00 ммоль) NaOH и 6,4 г (20,00 ммоль) Z-Ala-ONSu в условиях опыта 5 и кристаллизовали из смеси этилацетат — эфир. Выход 3,7 г (67%).

52. *Z-Trp-Ala-Gly-OH* (*LIII*). *a*) Из 2,80 г (10,00 ммоль) дипептида (*LII*) в условиях опыта 6а получали ацетат (*LIIa*) с количественным выходом.

б) Из 2,0 г (10,00 ммоль) ацетата (*LIIa*), 2,2 мл (20,00 ммоль) N-метилморфолина и 4,35 г (10,00 ммоль) Z-Trp-ONSu в условиях опыта 5 получали Z-Trp-Ala-Gly-OH (*LIII*) с выходом 2,8 г (62%). Аминокислотный анализ: Gly 1,01 (1); Ala 0,99 (1).

53. *Z - Trp - Ala - Gly - D - Ala - Asp(OBzl) - Ala - Ser(Bzl) - Gly - Glu(OBzl) - OBzl* (*LIV*) получали из 0,51 г (1,10 ммоль) трипептида (*LIII*), 0,12 мл (1,10 ммоль) N-метилморфолина, 0,14 мл (1,05 ммоль) изобутилхлорформиата, 1,02 г (1,00 ммоль) трифторацетата (*IIa*) (получен из гексапептида (*LI*) в условиях опыта 4а с выходом 93%) и 0,11 мл (1,00 ммоль) N-метилморфолина по методике 7б. Выход 0,96 г (65%). Аминокислотный анализ: Gly 2,04 (2); Ala 2,97 (3); Asp 0,95 (1); Ser 0,97 (1); Glu 1,02 (1).

54. *Trp-Ala-Gly-D-Ala-Asp-Ala-Ser-Gly-Glu* (*X*). 0,80 г (0,58 ммоль) защищенного nonапептида (*LIV*) гидрировали 20 ч и обрабатывали в условиях опыта 8. Сырой продукт (0,60 г) подвергали ионообменной хроматографии на колонке с DEAE-сепадексом А-25 в градиентном режиме в интервале 0,2—0,3 М CH<sub>3</sub>COONH<sub>4</sub>, pH 6,7. Выход 0,10 г (20%).

55. *Boc-Gly-Glu(OBzl)-NH<sub>2</sub>* (*LV*) (схема 5) получали из 2,36 г (10,00 ммоль) H-Glu(OBzl)-NH<sub>2</sub> [38], 2,84 г (10,00 ммоль) *Boc-Gly-ONp* и 1,35 г (10,00 ммоль) НОВГ в условиях опыта 15 с выходом 3,10 г (79%). Кристаллизацию проводили из этилацетата.

56. *Boc-Ser(Bzl)-Gly-Glu(OBzl)-NH<sub>2</sub>* (*LVII*) получали из 4,07 г (10,00 ммоль) трифторацетата (*LVa*) (получен из пептида (*LV*) в условиях опыта 2а с количественным выходом), 1,10 мл (10,00 ммоль) N-метилморфолина и 3,92 г (10,00 ммоль) *Boc-Ser(Bzl)-ONSu* в условиях опыта 1. Выход 4,10 г (72%). Кристаллизация из этилацетата.

57. *Boc-Ala-Ser(Bzl)-Gly-Glu(OBzl)-NH<sub>2</sub>* (*LVII*) получали из 5,84 г (10,00 ммоль) трифторацетата (*LVIIa*) (получен из пептида (*LVII*) в условиях опыта 2а с количественным выходом), 2,86 г (10,00 ммоль) *Boc-Ala-ONSu* и 1,10 мл (10,00 ммоль) N-метилморфолина в условиях опыта 1. Выход 5,20 г (81%). Кристаллизация из этилацетата.

58. *Boc-Asp(OBzl)-Ala-Ser(Bzl)-Gly-Glu(OBzl)-NH<sub>2</sub>* (*LVIII*) получали из 3,20 г (5,00 ммоль) трифторацетата (*LVIIa*) (получен из пептида (*LVII*) по методике 4а с выходом 98%), 0,55 мл N-метилморфолина и 2,19 г (5,00 ммоль) *Boc-Asp(OBzl)-ONSu* в условиях опыта 1. Выход 3,90 г (93%). Кристаллизация из этилацетата. Аминокислотный анализ: Gly 1,01 (1); Ala 0,98 (1); Asp 1,03 (1); Ser 1,02 (2); Glu 0,97 (1).

59. *Z-Trp-Ala-Gly-Gly-Asp(OBzl)-Ala-Ser(Bzl)-Gly-Glu(OBzl)-NH<sub>2</sub>* (*LIX*) получали из 1,44 г (2,75 ммоль) Z-Trp-Ala-Gly-Gly-OH (*XVIII*), 0,28 мл (2,63 ммоль) N-метилморфолина, 2,15 г (2,50 ммоль) трифторацетата (*LVIIIfa*) (получен из пептида (*LVIIIf*) в условиях опыта 4а с выходом 98%), 0,27 мл (2,50 ммоль) N-метилморфолина по методике 7б. Выход

2,59 г (83%). Аминокислотный анализ: Gly 3,03 (3); Ala 1,97 (2); Asp 0,95 (1); Ser 0,97 (1); Glu 1,03 (1).

60. *Trp-Ala-Gly-Gly-Asp-Ala-Ser-Gly-Glu-NH<sub>2</sub>* (*XI*). 1,0 г (0,79 ммоль) пептида (*LIX*) гидрировали 20 ч и обрабатывали аналогично опыту 8. Сырой продукт (0,8 г) хроматографировали на DEAE-сепадексе A-25 в 0,2 М CH<sub>3</sub>COONH<sub>4</sub>, pH 6,7. Выход 0,38 г (57%).

61. *Boc-Asn-Ala-Ser(Bzl)-Gly-Glu(OBzl)-OBzl* (*LX*) (схема 5) получали из 3,78 г (5,00 ммоль) трифторацетата (*XVa*), 1,86 г (5,00 ммоль) Boc-Asn-ONp [39] и 0,68 г (5,00 ммоль) НОВТ в условиях опыта 15 с выходом 3,04 г (71%). Кристаллизация из этилацетата. Аминокислотный анализ: Gly 1,01 (1); Ala 0,97 (1); Asp 1,02 (1); Ser 1,05 (1); Glu 0,97 (1). <sup>104</sup>

62. *Z-Trp-Ala-Gly-Gly-Asn-Ala-Ser(Bzl)-Gly-Glu(OBzl)-OBzl* (*LXI*) получали из 1,44 г (2,75 ммоль) пептида (*XVIII*), 0,28 мл (2,63 ммоль) N-метилморфолина, 2,17 г (2,5 ммоль) трифторацетата (*LXa*) (получен из пептида (*LX*) по методике 4а с выходом 96%) и 0,27 мл (2,50 ммоль) N-метилморфолина в условиях опыта 7б. Выход 2,10 г (66%). Аминокислотный анализ: Gly 3,07 (3); Ala 1,99 (2); Asp 1,01 (1); Ser 0,98 (1); Glu 0,98 (1).

63. *Trp-Ala-Gly-Gly-Asn-Ala-Ser-Gly-Glu* (*XII*). 1,0 г (0,79 ммоль) пептида (*LXI*) гидрировали в условиях, описанных для пептида (*I*). Сырой продукт (0,7 г) хроматографировали на DEAE-сепадексе A-25 в 0,2 М CH<sub>3</sub>COONH<sub>4</sub>, pH 6,7. Выход 0,3 г (45%).

#### ЛИТЕРАТУРА

1. Nagasaki H., Iriki M., Inoue S., Ushizono K. The presence of a sleep-promoting material in the brain of sleep-deprived rats.— Proc. Japan Acad., 1974, v. 50, № 3, p. 241–246.
2. Pappenheimer J. R., Koski G., Fencl U., Karnovsky M. L., Krueger J. Extraction of sleep-promoting factor S from cerebrospinal fluid and from brains of sleep deprived animals.— J. Neurophysiol., 1975, v. 38, № 12, p. 1299–1311.
3. Schoenenberger G. A., Maier P. F., Tobler H. J., Monnier M. A naturally occurring delta-EEG enhancing nonapeptide in rabbits.— Pflügers Arch., 1977, v. 369, № 1, p. 99–109.
4. Monnier M., Dudler L., Gächter R., Maier P. F., Tobler H. J., Schoenenberger G. A. The delta sleep inducing peptide (DSIP). Comparative properties of the original and synthetic nonapeptide.— Experientia, 1976, v. 33, № 4, p. 548–552.
5. Schoenenberger G. A., Monnier M. Characterization of a delta-electroencephalogram (δ-sleep)-inducing peptide.— Proc. Nat. Acad. Sci. USA, 1977, v. 74, № 3, p. 1282–1286.
6. Monnier M., Dudler L., Gächter R., Schoenenberger G. A. Delta sleep-inducing peptide (DSIP): EEG and motor activity in rabbits following intravenous administration.— Neurosci. Letters, 1977, v. 6, № 1, p. 9–13.
7. Mikhaleva I. I., Sargsyan A. S., Sumskaya L. V., Balashova T. A., Deshko T. N., Efremov E. S., Ivanov V. T. Synthesis, spectroscopic and biological properties of delta-sleep inducing peptide and its analogs.— In: Peptides. Structure and Biological Function. / Gross E., Meienhofer J., eds. Rockford: Pierce Chemical Company, 1979, p. 901–904.
8. Ivanov V. T., Mikhaleva I. I., Sargsyan A. S., Balashova T. A., Efremov E. S., Deshko T. N., Nabiev I. R., Balaban P. M. Physicochemical and biological properties of δ-sleep inducing peptide and its analogues.— In: Proceedings of the sixteenth European Peptide Symposium, Copenhagen, 1980 (in press).
9. Marks N., Stern F., Kastin A. J., Coy D. H. Degradation of delta sleep inducing peptide (DSIP) and its analogs by brain extracts.— Brain Res. Bull., 1977, v. 2, № 4, p. 491–493.
10. Laudano A. P., Doolittle R. F. Synthetic peptide derivatives that bind to fibrinogen and prevent the polymerization of fibrin monomers.— Proc. Nat. Acad. Sci. USA, 1978, v. 75, № 7, p. 3085–3089.
11. Engelhard M., Merrifield R. B. Tyrosine protecting groups: minimization of a rearrangement to 3-alkyltyrosine during acidolysis.— J. Amer. Chem. Soc., 1978, v. 100, № 1, p. 3559–3563.
12. Bodanszky M., Kwei J. Side reactions in peptide synthesis.— Int. J. Pept. Prot. Res., 1978, v. 12, № 2, p. 69–74.
13. Yang C. C., Merrifield R. B. The β-phenacyl ester as a temporary protecting group to minimize cyclic imide formation during subsequent treatment of aspartyl peptides with HF.— J. Org. Chem., 1976, v. 41, № 6, p. 1032–1041.

14. Beyerman H. C., De Leer E. W. B., Floor J. On the repetitive excess mixed anhydride method for the synthesis of peptides. *Synthesis of the sequence 1–10 of human growth hormone*.—Recueil, 1973, v. 92, № 4, p. 481–492.
15. Дейгин В. И., Ульяшин В. В., Иванов В. Т. Высокоэффективная эксклюзионная жидкостная хроматография защищенных пептидов. Тез. V Всес. симпоз. по химии и физике белков и пептидов, Баку, 1980, с. 154.
16. Kafi S., Monnier M., Gaillard J.-M. The delta-sleep inducing peptide (DSIP) increases duration of sleep in rats.—*Neurosci. Letters*, 1979, v. 13, № 2, p. 169–172.
17. Polc P., Schneeberger J., Haefely W. Effect of the delta sleep-inducing peptide (DSIP) on the sleep-wakefulness cycle of cat.—*Neurosci. Letters*, 1978, v. 9, № 11, p. 33–36.
18. Богословский М. М., Карманова И. Г., Максимук В. Ф., Альбертин С. В. Электро-графические изменения в изолированной коре кошек под влиянием пейропептида спа.—Ж. эвол. биохим. и физiol., 1979, т. 15, № 4, с. 430–433.
19. Карманова И. Г., Максимук В. Ф., Воронов И. Б., Богословский М. М., Демин Н. Н., Рубинская Н. П., Альбертин С. В. Анализ действия пейропептида, вызывающего дельта-сон у кошек и белых крыс.—Ж. эвол. биохим. и физiol., 1979, т. 15, № 5, с. 583–589.
20. Медведев В. И., Бахарев В. Д. Исследование свойств олигопептида — пейрому-дюлятора сна.—Ж. эвол. биохим. и физiol., 1979, т. 15, № 4, с. 379–384.
21. Ковальzon B. M., Цибульский B. L. Имеются ли гипногенные свойства у синтетического «пептида, вызывающего дельта-сон»?—Ж. высш. нервн. деят., 1980, т. 30, № 5, с. 1064–1066.
22. Tobler I., Borbely A. A. Effect of delta-sleep inducing peptide (DSIP) and arginine vasotocin (AVT) on sleep and motor activity in the rat.—*Waking and Sleep-ing*, 1980, v. 4, № 2, p. 139–153.
23. Frontali N., Gainer H. Peptides in invertebrate nervous systems.—In: *Peptides in neurobiology*. / Gainer H., ed. N. Y.: Plenum Press, 1977, p. 259–285.
24. Barker J. L., Ifshin M. S., Gainer H. Studies on bursting pacemaker potential ac-tivity in molluscan neurons III. Effects of hormones.—*Brain Res.*, 1975, v. 84, № 3, p. 501–503.
25. Кононенко Н. И. Эффект аппликации по сому пачечного нейрона вилоградной улитки — фактора, модулирующего электрическую активность.—Докл. АН ССРР, 1980, т. 250, № 6, с. 1490–1493.
26. Takeuchi H., Tamura H., Nishizawa R. Inhibitory effect of tripeptides, containing L-Phe-L-Tyr on neuronal excitability.—*Eur. J. Pharmacol.*, 1979, v. 54, № 3, p. 393–396.
27. Stefano G. B., Kream R. M., Zukin R. S. Demonstration of stereospecific opiate binding in the nervous tissue of the marine mollusc *Mytilis edulis*.—*Brain Res.*, 1980, v. 181, № 2, p. 440–445.
28. Balaban P. M. A system of command neurons in snail's escape behaviour.—*Acta neurobiol. Exp.*, 1979, v. 39, № 2, p. 97–107.
29. Ашмарин И. П., Доссирова Е. Л. Влияние пептида дельта-сна на активность аце-тилхолинэстеразы и МАО в синаптосомах и митохондриях мозга кролика *in vitro*.—Докл. АН ССРР, 1980, т. 255, № 6, с. 1501–1503.
30. Fletcher G. A., Jones J. H. A list of amino-acid derivatives which are useful in peptide synthesis.—*Int. J. Pept. Prot. Res.*, 1972, v. 4, № 3, p. 347–371.
31. Fletcher G. A., Jones J. H. A supplementary list of amino-acid derivatives which are useful in peptide synthesis.—*Int. J. Pept. Prot. Res.*, 1975, v. 7, № 2, p. 91–102.
32. Brack A., Spach G. Synthesis and conformations of periodic copolipeptides of L-alanine and glycine.—*Biopolymers*, 1972, v. 11, № 3, p. 563–586.
33. Wieland T., Lapatsanis L., Faesel J., Konz W. Syntthese von Strukturvarianten des Antamanids.—*Liebigs Ann. Chem.*, 1971, v. 74, № 5, p. 194–206.
34. Weygand F., Steglich W. Synthesen mit carbobenzoxy-derivaten.—*Chem. Ber.*, 1960, v. 92, № 12, p. 2983–3005.
35. Fairweather R., Jones J. H. Sequential polypeptides. Part IV. The synthesis of poly-(L-alanyl-glycyl-L-proline) and its stereoisomers.—*J. Chem. Soc., Perkin Trans. I*, 1972, № 15, p. 1908–1915.
36. Steward J. M., Young J. D. Solid Phase Peptide Synthesis. San Francisco: Free-man W. H. and Company, 1969, p. 31–32.
37. Wang S. S., Gisin B. F., Winter D. P., Makofske I. D., Kulcsa I. D., Tzougraki C., Meienhofer J. Facile synthesis of amino acid and peptide esters under mild con-ditions via cesium salts.—*J. Org. Chem.*, 1977, v. 42, № 8, p. 1286–1290.
38. Sachs H., Brand E. Benzyl esters of glutamic acid.—*J. Amer. Chem. Soc.*, 1953, v. 75, № 18, p. 4610–4611.
39. Lefrancier P., Choay J., Derrien M., Lederman J. Synthesis of N-acetyl-muramyl-L-alanyl-D-isoglutamine, as adjuvant of the immune response, and of some N-acet-yl-muramyl-peptide analogs.—*Int. J. Pept. Proc. Res.*, 1977, v. 9, № 6, p. 249–257.

Поступила в редакцию  
25.II.1981

SYNTHESIS AND SOME BIOLOGICAL PROPERTIES OF  $\delta$ -SLEEP INDUCING  
PEPTIDE AND ITS ANALOGS

ARGSYAN A. S., SUMSKAYA L. V., ALEXANDROVA I. Yu., BESRUOKOV M. V.,  
MIKHALEVA I. I., IVANOV V. T., BALABAN P. M.

*M. M. Shemyakin Institute of Bioorganic Chemistry, Academy of Sciences  
of the USSR, Moscow; Institute for Biological Testing  
of Chemical Compounds, Kupavna*

With the aim of studying a structure-function relationship for  $\delta$ -sleep inducing peptide (DSIP), the title compound and 11 its analogs were synthesized: a) analogs containing Tyr in one of the positions 6-9 of the DSIP molecule; b) analogs having D-Ala residue in position 2, 3 or 4, analog with  $\delta$ -aminovaleric acid instead of Gly-Gly moiety in positions 3-4, and undecapeptide analog with Gly-Pro segment at the N-terminus; c) DSIP derivatives with amidated  $\beta$ - or  $\gamma$ -carboxyls of Asp or Glu residues. Synthesis was accomplished by fragment condensation of two segments, each being prepared by a stepwise chain elongation. DSIP and some of its congeners manifested a specific and selective effect in the cell electrophysiological models - neurons of the snail *Helix lucorum* - causing inhibition by 30-40% of the endogenous electrical rhythm and an increase by 1-4 mv of the resting potential. The results of the testing the somnogenic action of DSIP on animals (rats, rabbits, cats) were discussed.